

وزارة التعليم العالي
MINISTERE DE L'ENSEIGNEMENT SUPERIEUR

2EX



ECOLE NATIONALE POLYTECHNIQUE

DEPARTEMENT : Génie-Chimique

PROJET DE FIN D'ETUDES

SUJET

Contribution à l'élaboration
d'un logiciel
de simulation de procédés

Proposé par :

M. M. BENIDDIR

Etudié par :

Melle L. BENABBAS
M. T. M. M. OUVANE

Dirigé par :

M. M. BENIDDIR

PROMOTION : JUIN 1991



الجمهورية الجزائرية الديمقراطية الشعبية
REPUBLIQUE ALGERIENNE DEMOCRATIQUE ET POPULAIRE

وزارة التعليم العالي
MINISTRE DE L'ENSEIGNEMENT SUPERIEUR

المدرسة الوطنية المتعددة التقنيات
BIBLIOTHEQUE — المكتبة
Ecole Nationale Polytechnique

ECOLE NATIONALE POLYTECHNIQUE

DEPARTEMENT :

PROJET DE FIN D'ETUDES

SUJET

Contribution à l'elaboration
d'un logiciel
de simulation de procédé

Proposé par :

Etudié par :

Dirigé par :

PROMOTION :

SOMMAIRE

INTRODUCTION	1
I. GENERALITES	3
I.1. Introduction	3
I.2. Théorie des modèles	3
I.2.1. Définition d'un modèle	3
I.2.2. Types de modèles	4
a. Modèles mathématiques	4
b. Modèles analogiques	5
c. Modèles homologiques	6
I.2.3. Identification de paramètres	6
I.2.4. Conclusion	7
I.3. GENERALITES SUR LA SIMULATION	8
I.3.1. Simulation physique	8
I.3.2. Simulation mathématique	9
I.3.3. Simulation de procédés	9
I.3.5. Différents types de simulation mathématique	10
a. Simulation statique	10
b. Simulation dynamique	10
c. Simulation continue	10
I.4. Conclusion	10
II. PRESENTATION DU DYFLO	12
II.1. Procédures numériques de INT	12
II.1.1. Résolution d'équations algébriques	12
a. Par la méthode de substitution partielle	12
b. Par la méthode de WEGSTEIN	13
II.1.2. Résolution d'équations différentielles	13
a. Par la méthode de RUNGE-KUTTA	13
II.1.3. Génération de la dérivée d'une variable	14
II.2. Structure du DYFLO	14
II.3. Procédures du DYFLO	16
II.3.1. Subroutines ENTHL(I) et ENTHU(I)	16
II.3.2. Subroutine TEMP(I,L)	17
II.3.3. Subroutine ACTY(I)	18
II.3.4. Subroutine EQUIL(IL,IU)	19
II.3.5. Subroutine DEWPT(IU,IL)	21
II.3.6. Subroutine HTEXCH	21
II.3.7. Subroutine FLUSH	22
II.3.8. Subroutine PCON	25
II.3.9. Subroutine CUBOIL	26
II.3.10. Subroutine HLOP	26
II.3.11. Subroutine UUBOIL	27
II.3.12. Subroutines de controle	29
a. Eléments de mesure	30
b. Régulateurs	31
c. autre procédure	31
II.4. Exemple d'application du DYFLO	32
II.5. Conclusion sur le DYFLO	33

III. REALISATION DU LOGICIEL DE SIMULATION	34
III.1. Introduction	34
III.2. Adaptation des procédures du DYFLO au langage C	34
III.2.1. Pourquoi le langage C ?	34
III.2.2. Structure adoptée	35
III.2.3. Présentation des procédures du DYFLO traduites en C	35
III.2.3. Conclusion	37
III.3. Réalisation d'une procédure générale simulant un appareil de génie chimique	38
III.3.1. Introduction	39
III.3.2. Réalisation d'une procédure générale simulant une colonne de distillation selon un modèle	40
a. Présentation du modèle	40
b. Stabilité de la simulation	42
c. Procédure simulant un étage normal STAGE	45
d. Procédure simulant un étage avec alimentation STGF	47
e. Procédure simulant un étage avec soutirage STGS	47
f. Procédure simulant le bas de la colonne BOT	47
g. Procédure simulant le rebouilleur REB	48
h. Développement d'une procédure générale de simulation d'une colonne	51
III.4. Réalisation d'une interface utilisateur interactive	53
III.4.1. Introduction	53
III.4.2. Possibilités de l'interface	53
III.4.3. Structures des programmes sources	54
III.4.4. Description de l'interface	55
III.4.5. Exemple d'application avec l'interface utilisateur	56
III.4.6. Conclusion	57
CONCLUSION GENERALE	58

III. REALISATION DU LOGICIEL DE SIMULATION	34
III.1. Introduction	34
III.2. Adaptation des procédures du DYFLO au langage C	34
III.2.1. Pourquoi le langage C ?	34
III.2.2. Structure adoptée	35
III.2.3. Présentation des procédures du DYFLO traduites en C	35
III.2.3. Conclusion	37
III.3. Réalisation d'une procédure générale simulant un appareil de génie chimique	38
III.3.1. Introduction	39
III.3.2. Réalisation d'une procédure générale simulant une colonne de distillation selon un modèle	40
a. Présentation du modèle	40
b. Stabilité de la simulation	42
c. Procédure simulant un étage normal STAGE	45
d. Procédure simulant un étage avec alimentation SIGF	47
e. Procédure simulant un étage avec soutirage SIGS	47
f. Procédure simulant le bas de la colonne BOI	47
g. Procédure simulant le rebouilleur REB	48
h. Développement d'une procédure générale de simulation d'une colonne	51
III.4. Réalisation d'une interface utilisateur interactive	53
III.4.1. Introduction	53
III.4.2. Possibilités de l'interface	53
III.4.3. Structures des programmes sources	54
III.4.4. Description de l'interface	55
III.4.5. Exemple d'application avec l'interface utilisateur	56
III.4.6. Conclusion	57
CONCLUSION GENERALE	58

BIBLIOGRAPHIE

ANNEXE -1- Listing de NUMERIQ.C

ANNEXE -2- Listing de ETAT.C

ANNEXE -3- Listing de UNITETAT.C

ANNEXE -4- Listing de UNITOYN.C

ANNEXE -5- Listing de CONTROL.C

ANNEXE -6- Listing des procedures de simulation d'une colonne

ANNEXE -7- Exemples d'application

ANNEXE -8- Masques du logiciel realise

ملخص :

ABSTRACT : Our work consists in a small contribution to develop a software package designed specifically for chemistry engineering processes. We developed library permits the dynamic simulation of chemical process and a user highly interactive package for parameters introduction and graphics.

Resume :

Notre travail est une modeste contribution au developpement d'un logiciel de simulation de procedes chimique. Nous avons developpe une librairie d'utilitaires permettant la simulation de procedes chimiques ainsi qu'une interface utilisateur interactive facilitant l'introduction des parametres et la presentation graphique ou dans un fichier des resultats de la simulations.

INTRODUCTION

L'évolution de l'outil informatique et des méthodes numériques, a donné une nouvelle allure au développement scientifique et technologique. De nos jours la modélisation et la simulation sont enseignées dans tous les domaines de l'Engineering (Génie-chimique, Génie-civil, Hydraulique, Electronique ...).

La recherche de modèles à partir de données expérimentales (modèles de représentation) ou à partir d'équations mathématiques et de connaissances physiques (modèles de connaissances), et la simulation, qui est la manipulation de ces modèles, sont des activités fondamentales en sciences expérimentales (physique, chimie, biologie ...) et en Engineering. Cette activité traditionnelle connaît un essor important depuis la généralisation de l'outil informatique, associant la puissance, la rapidité de calcul et la maîtrise de l'information à la commodité de la représentation graphique. Actuellement, on forme les opérateurs sur des logiciels de simulation; la recherche et la conception de procédés sont faites à l'aide de logiciels de C-A-O utilisant la simulation; les unités pilotes optimisant le fonctionnement des usines réelles sont remplacées par des logiciels. (Gain de temps, réduction de coût et élimination de risque).

Il existe, actuellement, des stations de travail " Work-station" offrant une grande puissance de calcul et des possibilités accrues en entrées / sorties, (haute résolution graphique : 1280 x 1024 pixels) et une grande capacité de stockage des informations (jusqu'à 400 Mo en disque dur à accès très rapide). Il existe aussi de nombreux logiciels de simulation en mécanique des fluides et dans le traitement des phénomènes de transport; simulation des procédés dynamiques, systèmes experts, bases de données, C-R-O, D-R-O, gestion des projets ...

Notre but est de contribuer à la réalisation d'une bibliothèque d'utilitaires de simulation de procédés chimiques, dans un langage de développement permettant l'extension et l'utilisation de toutes les ressources de la machine. Et la contribution à la réalisation d'un logiciel de simulation modulaire, interactif.

Ainsi, notre Projet de fin d'Etude s'articule comme suit :

- * Présentation de quelques généralités et quelques définitions.
- * Adaptation des procédures du DYFLO [1] au langage C et réalisation d'une librairie d'utilitaires pour la simulation en génie-chimique.
- * Réalisation d'une procédure de simulation d'une colonne de distillation selon le modèle proposé par DYFLO que nous avons généralisé.
- * Réalisation d'une interface utilisateur interactive pour la manipulation des paramètres et pour la réalisation d'un simulateur de procédés utilisant une approche modulaire simultanée.

I. GENERALITES .

I.1. Introduction :

Les objectifs du génie des systèmes et procédés sont multiples :

- * Conception et dimensionnement des systèmes.
- * Extrapolation et interpolation des modèles.
- * Optimisation des installations existantes par une meilleure compréhension de leur fonctionnement. Cette démarche nécessite couramment en préalable, une modélisation, une simulation, voire une identification de paramètres.
- * Conduite optimale des procédés. Dans ce cas, on utilise les techniques d'automatisation et de commande permettant la maîtrise de l'évolution dans le temps du procédé.

I.2. Théories de modèles :

La théorie des modèles vise à la prévision des performances de composants, de machines, de systèmes et de procédés.

I.2.1. Définition d' un modèle .

Un modèle est la représentation d'un système ou d'un procédé par un ensemble d'équations ou par un montage expérimental permettant la simulation des conditions de fonctionnement et conduisant à l'établissement de lois prévisionnelles. Dans les cas les plus difficiles, ces lois ne seront que des corrélations empiriques entre les grandeurs de sortie (rendement...) et les paramètres d'entrée (conditions de fonctionnement...)

I.2.2. Types de modèles :

a. Modèles mathématiques :

Ils décrivent le procédé par un ensemble d'équations qui résultent des lois traduisant les effets mécaniques, thermiques, physico-chimiques..., couplés dans le processus modélisé. Dans certains cas, les équations se résument à des relations empiriques.

Les modèles mathématiques expriment couramment :

- * Les bilans de matière, de quantité de mouvement, d'énergie, d'exergie.
- * Les couplages entre phénomènes de transfert, réactions chimiques et transformation de l'énergie.

On peut distinguer deux types de modèles mathématiques.

1. Modèle statique .

Un modèle statique ne prend pas en considération les variations dans le temps des paramètres du processus. L'élaboration d'un modèle statique du processus est précédé de l'analyse de sa nature physico-chimique, du but auquel il est destiné et des équations fondamentales qui décrivent ses particularités en tant que processus type.

On met ensuite en évidence les paramètres d'entrée et de sortie du processus.

Le modèle statique d'un processus type doit être construit en tenant compte de tous les régimes technologiques de travail possibles concernant le système type.

2. Modèle dynamique

L'élaboration d'un modèle dynamique se ramène à obtenir les caractéristiques dynamiques du processus, c'est à dire à établir les relations entre ses variables temporelles fondamentales.

Les caractéristiques dynamiques peuvent être obtenues soit par la théorie, soit par l'expérience, soit par la combinaison des deux méthodes.

L'obtention, par l'expérience, des caractéristiques dynamiques est fondée sur une expérimentation consistant à causer une perturbation à l'entrée du système étudié et à analyser dans le temps, à sa sortie, le passage de cette perturbation à travers le système.

Les limitations de la modélisation mathématique proviennent de la difficulté d'identifier les effets régissant le processus ou dans la convergence des méthodes itératives de calcul (expérience mathématique) ou dans le manque de données fondamentales par exemple les données physico-chimiques.

b. Modèles analogiques

Ces modèles donnent du procédé une représentation dans un domaine scientifique voisin par transposition de variables. Il existe de nombreux types d'analogie : mécanique, électrique, hydraulique, mais les analogies électriques sont les plus courantes.

c. Modèles homologiques :

Ces modèles substituent, couramment, aux fluides réels des fluides modèles. Les lois de similitude totale ou partielle permettent alors une expérimentation sur maquette, dans des conditions aisément maîtrisables de température ou de pression. La maquette est souvent un instrument d'étude et d'acquisition de données qui permet la visualisation du phénomène, la mise en évidence d'un aspect précis du procédé, la mise au point du modèle. Cette pratique est fréquente dans le cas des études hydrodynamiques et souligne le caractère spécifique des études sur maquette qui privilégient souvent un aspect particulier du phénomène étudié, par exemple l'examen des conditions d'écoulement.

I.2.3. Identification de paramètres .

Dans l'étude des systèmes et des procédés intervient la représentation mathématique supposée connue. La connaissance de la linéarité ou non linéarité du modèle est importante mais il faut de plus connaître les valeurs numériques des coefficients qui interviennent dans le modèle.

Pour que les résultats théoriques obtenus à partir du modèle coïncident au mieux avec ceux fournis par le système réel (validation du modèle), il faut que le modèle soit le plus vraisemblable possible. La fidélité de la représentation est aisée pour des systèmes simples à paramètres bien localisés et facilement mesurables.

Pour les systèmes plus complexes, la concordance entre les résultats théoriques et les résultats expérimentaux n'est acceptable que sur un domaine limité de variations des paramètres d'entrée. Si on veut changer le domaine de validité du modèle, il faut au moins ajuster les valeurs numériques de différents coefficients.

Dans certains cas, l'établissement du modèle mathématique est réalisé à partir d'une "boîte noire" en utilisant des hypothèses et en s'aidant d'observations qui permettent de donner une représentation des phénomènes. L'identification permet alors de calculer des paramètres d'entrée du modèle pour avoir coïncidence avec les observations.

I.2.4. Conclusion .

L'utilisation du modèle en simulation est souvent une étape indispensable en vue de valider le modèle; puis la simulation permet aussi de faire des études de sensibilité par rapport à divers paramètres ou à des variables d'état. L'optimisation du système ou du procédé devient alors possible.

I.3. GENERALITES SUR LA SIMULATION.

On distingue deux types de simulation : la simulation physique et la simulation mathématique.

I.3.1. Simulation physique .

Dans la simulation physique, l'étude d'un phénomène donné s'opère en le reproduisant à des échelles différentes et en analysant l'influence de ses particularités physiques et de ses dimensions linéaires. L'expérience est directement conduite sur le processus physique étudié.

La simulation physique se ramène à reproduire la constance des critères de similitude caractéristiques, et dans le modèle et dans le système étudié.

I.3.2. Simulation mathématique .

C'est la manipulation du modèle mathématique avec différentes excitations ou sollicitations. Elle évite le recours systématique à l'expérimentation pour des raisons évidentes de coût, mais aussi de sécurité.

Seul ce type de simulation sera développé ci-après.

I.3.3 Simulation de procédés .

La simulation de systèmes ou procédés consiste à calculer les variables de fonctionnement à partir de la description mathématique fournie par la modélisation. Généralement, le problème consiste à résoudre un système d'équations simultanées linéaires ou non.

La simulation de procédés est née et s'est développée dans les industries de la chimie et de la pétrochimie. Les caractéristiques et les réactions des produits utilisés étant souvent relativement bien définies; les procédés mis en oeuvre dans le secteur se sont, en effet, prêtés à une mise en équation des phénomènes observés et à un traitement automatisé des calculs.

D'autre part, la nature très souvent séquentielle de ces procédés conduit naturellement à des modèles dont les équations sont très peu interdépendantes et donc facilement solubles au moyen de méthodes itératives. Celle-ci présentent l'avantage d'être à la fois bien adaptées à la programmation et de conception assez simple et se sont donc développées les premières.

Les procédés à simuler peuvent être très variés et la complexité de la simulation dépend bien évidemment de la structure des modèles obtenus lors des phases de modélisation et d'identification.

Néanmoins, trois caractéristiques générales s'en dégagent :

- Leur structure algèbro-différentielle linéaire ou non.
- Leur grande dimension due au nombre élevé de variables, ainsi qu'au nombre d'équations liant ces variables.
- La présence éventuelle d'équations à retard pur et d'équations logiques.

I.3.5. Différents types de simulation mathématique .

Selon la nature du système d'équations algèbro-différentielle décrivant le procédé étudié, on distingue :

a. Simulation statique :

On dit qu'une simulation est statique si le modèle représentant le système est du type statique, défini dans le chapitre précédent.

b. Simulation dynamique :

On dit qu'une simulation est dynamique si le modèle représentant le système est du type dynamique, défini dans le chapitre précédent.

c. Simulation continue :

On dit qu'on a une simulation continue si la méthode de résolution, choisie, du système algèbro-différentiel nous permet d'avoir des résultats continus et non en paliers.

II.4. Conclusion :

L'étude des procédés industriels, après leur modélisation et leur identification, nécessite souvent d'en effectuer une simulation pour mettre en évidence et résoudre un certain nombre de difficultés: validité du modèle, stabilité, régulation, commande.

En outre, la simulation peut être une démarche pédagogique pour apprendre à un "opérateur" à maîtriser le comportement d'un procédé: sur le procédé simulé, l'instructeur peut appliquer certaines configurations de signaux d'excitation pour tester les réactions de l'opérateur en face d'une situation qu'il ne connaît pas encore, et l'inviter ainsi à une réflexion sur les actions à prendre face à une telle situation.

II. PRESENTATION DU DYFLO .

Le DYFLO est un ensemble de procédures développées , en FORTRAN IV sur UNIVAC 1108 , par R.G.E. FRANKS en 1971 aux U.S.A . Ces procédures permettent la simulation des opérations de procédés courants (évaporation , condensation , accumulation , . . .) . Elles forment une librairie de fonctions facilitant la programmation pour la simulation de procédés complexes .

Les modèles adoptés par chaque procédure vont être présentés . L'utilisateur peut modifier , adapter ces modèles selon ces besoins et enrichir cette librairie de procédures .

La résolution des équations algébriques et différentielles, constituant le modèle , est assurée par un ensemble de procédures numériques présentées dans un autre programme , nommé INT .

Les listings, en FORTRAN IV , de toutes ces sous-routines constituent le DYFLO, présenté par R.G.E. FRANKS [1] .

II.1. Procédures numériques de INT .

II.1.1. Résolution d'équations algébriques .

a . Par la méthode de substitution partielle .

La procédure utilisant cette méthode est nommée CPS .

exemple d'utilisation : pour résoudre l'équation

$$X = (5 * Y^{**2} + 3 * \text{SQRT}(X) - 8 * X^{**.8})^{**.36}$$

L'appel en FORTRAN se fera comme suit :

```
X=5.0
5 CONTINUE
XC=(5*Y**2+3.*SQRT(X)-8*X** .8)** .36
CALL CPS(X,XC, .5,NC)
IF (NC.NE.1) GOTO 5
6 CONTINUE
```

b . Par la méthode de WEGSTEIN .

La procédure utilisant cette méthode est nommée CONU .

Exemple d'utilisation : pour résoudre l'équation de l'exemple précédent l'appel se fera comme suit :

```

X=5.0
5 CONTINUE
XC=(5*Y**2+3.*SQRT(X)-8*X**.8)**.36
CALL CONU(X,XC,1,MC)
GOTO (6,5),MC
6 CONTINUE
    
```

II.1.2. Résolution d'équations différentielles .

a . Par la méthode de RUNGE-KUTTA .

C'est la méthode la plus utilisée en simulation grâce à sa stabilité. Elle est représentée par les deux sous-routines INT et INTI. La première pour l'intégration proprement dite et la seconde pour le choix du pas et de l'ordre d'intégration (à chaque appel). Elles regroupent les quatre ordres d'intégration : RUNGE-KUTTA d'ordre 1 (EULER) ; d'ordre 2,3 et 4.

Mode d'utilisation : Pour résoudre l'équation différentielle :

$$d(N X_c)/dt = F_r X_{cr} + R - U Y_c .$$

On traduit en écriture FORTRAN par : $DNXC=FR*XCR+R-U*YC$

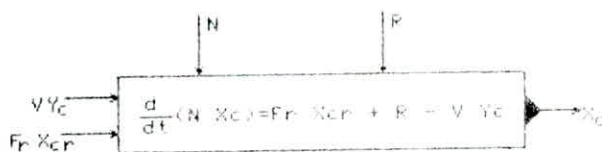
Et on appelle INT comme suit : $CALL INT(NXC,DNXC)$

ou $XC=NXC/N$

L'appel de INTI, pour chaque pas, peut se faire comme suit :

$CALL INTI(T,DT,2)$

Ceci est représenté dans le schéma du modèle par :



SCHEMA DU BLOC D'INTEGRATION

II.1.3. Génération de la dérivée d'une variable .

Ceci est réalisé par la subroutine DER .

Mode d'utilisation : $Y=F(X)$
CALL DER(Y,X,DYDX,I)

ou I représenté le nombre d'appels .

N.B : Le programme INT comporte d'autres procédures numériques qui n'ont pas été présentées :

FUN1 : Interpolation d'une fonction à 2 dimensions .

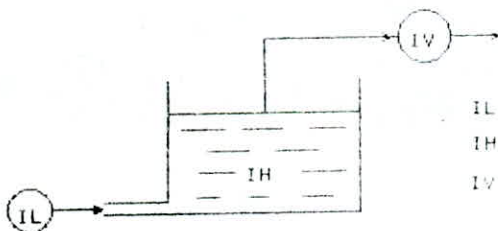
FUN2 : Interpolation d'une fonction a 3 dimensions .

PRNTF; PRNTR : Sorties des résultats .

II.2. Structure du DYFLO :

En simulation de procédés on a affaire, généralement, à des flux et à des noeuds. Un flux peut être liquide ou vapeur, rarement solide. Un noeud est une quantité de matière stagnante (qui n'est pas en mouvement).

Exemple :



IL:Représente un flux liquide.

IH:Représente un noeud.

IV:Représente un flux nomB

Les flux et les noeuds ont certaines propriétés extensives : telles que la composition et la température ; le débit pour un flux ou la quantité pour un noeud, ... etc .

Il est nécessaire de numéroter les flux et les noeuds et d'avoir pour chaque numéro, de flux ou de noeud, une matrice de propriétés. Pour cela on a défini une matrice STRM(IS,IP) où IS est le numéro du flux ou du noeud (IS=1, ...,MaxFlux; Maxflux=300), et IP le numéro de la propriété :

IP-1, ...,20 : Composition X1, ...,X20, généralement en fraction molaire.

IP-21 : Debit en (moles/min) ou retenu, pour un noeud, en(moles).

IP-22 : Température en (C).

IP-23 : Enthalpie (PCU/MOLE).

IP-24 : Pression (atm).

Nous avons défini ainsi une matrice de flux STRM(300,24), ses dimensions peuvent être modifiées selon nos besoins.

Dans un flux, il y a un certain nombre de composés dont on doit connaître les propriétés. C'est pourquoi, on a défini une matrice de données DATA(IC,ID) où IC est le numéro du composé (IC=1, ...,20 correspondant à IP=1, ...,20 des compositions de STRM) et ID l'indice de la propriété :

ID-1 : Coefficient d'Antoine C1.

ID-2 : Coefficient d'Antoine C2.

ID-3 : Coefficient d'Antoine C3.

ID-4 : Coefficient d'enthalpie vapeur Av.

ID-5 : Coefficient d'enthalpie vapeur Bv.

ID-6 : Chaleur latente à 0 C.

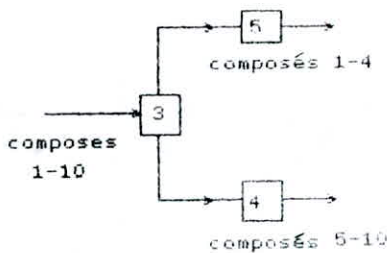
ID-7 : Coefficient d'enthalpie liquide A1.

ID-8 : Coefficient d'enthalpie liquide B1.

ID-9 : Activité Nu.

Dans un flux donné, nous avons besoin de savoir quels sont les composés qui interviennent parmi ceux définis dans un système (dans DATA). Pour cela on définit deux variables NCF et NCL représentant l'indice du premier et du dernier composé, respectivement, intervenant dans un flux.

Exemple :



Pour simuler le noeud 3 on a NCF=1;
NCL=10;
Pour simuler le noeud 4 on a NCF=5;
NCL=10;
Pour simuler le noeud 5 on a NCF=1;
NCL=4;

II.3. Procédures du DYFLO .

II.3.1. Subroutines ENTHL(I) et ENTHU(I) .

Parfois, nous avons besoin de calculer l'enthalpie molaire (liquide ou vapeur) d'un flux dont nous connaissons la température et la composition, grâce aux deux subroutines correspondantes.

La capacité calorifique varie linéairement avec la température =

$$C_p = a + b T$$

où a et b sont des constantes.

L'enthalpie s'exprime, en fonction de la température, par

l'équation :

$$H = \int_0^T C_p dT = \int_0^T (a + b T) dT \quad \text{d'où} \quad H = a T + \frac{b}{2} T^2 + c$$

Où c est la constante d'intégration.

- c=0 pour les liquides ;
- c=Lambda pour les vapeurs (Chaleur latente a 0 C).

L'enthalpie vapeur : $H_v = \text{Lambda} + (A_v + B_v T) T$ (PCU/mole)

L'enthalpie liquide : $h_l = (A_l + B_l T) T$ (PCU/mole)

Ou :

A = Capacité calorifique à 0 C.

B = 1/2 du Coefficient de température dans la capacité calorifique.

Pour un mélange idéal liquide : $h_l = T \sum X_i (A_{li} + B_{li} T)$

Pour un mélange vapeur : $H_v = T \sum X_i (A_{vi} + B_{vi} T) + \text{Lambda}$

Ceci est traduit par les deux procédures ENTHL(I) et ENTHV(I).

Ces procédures peuvent être schématisées comme suit :



II.3.2. Subroutine TEMP(I,L)

Cette subroutine permet de déterminer la température à partir de l'enthalpie et de la composition.

$$H_v = T \sum X_i (A_{vi} + B_{vi} T) + \text{Lambda} \quad \text{d'où} \quad T = \frac{H_v - \sum \text{Lambda}_i X_i}{\sum A_{vi} X_i + T \sum B_{vi} X_i} \quad (1)$$

ou bien

$$h_l = T \sum X_i (A_{li} + B_{li} T) \quad \text{d'où} \quad T = \frac{h_l}{\sum A_{li} X_i + T \sum B_{li} X_i} \quad (2)$$

La résolution de l'équation (1) ou bien (2) se fait avec la subroutine CONU.

II.3.3. Subroutine ACTY(I) .

Pour un mélange non idéal on a besoin des activités . Dans le DYFLO les activités sont calculées par la subroutine ACTY, seulement, cette subroutine n'est pas generalisée et il faut l'adapter pour chaque cas .

Exemple : Pour un mélange ternaire on a les corrélations suivantes :

$$1n \text{ Nu1} = A12 X2^2 + A13 X3^2 + X2 X3 (A12 + A13 - A23) .$$

$$1n \text{ Nu2} = A23 X3^2 + A21 X2^2 + X3 X1 (A23 + A21 - A31) .$$

$$1n \text{ Nu3} = A31 X1^2 + A32 X2^2 + X1 X2 (A31 + A32 - A12) .$$

Où les A_{ij} sont des coefficients dépendants de la température .

Pour ce cas particulier le listing de la procédure ACTY est comme suit :

```

1* SUBROUTINE ACTY(N)
2* COMMON/CD/STRM(300,24),DATA(20,10),RTL(22),NCF,NCL,LSTR
3* DATA(DATA(J,9),J=1,20)/20*1./
4* DATA SA67,SA68,SA78,B67,B68,B78/-.62,-.8,-.3,370.,380.,170./
5* DATA SA76,SA86,SA87,B76,B86,B87/-.6,-.7,-.4,365.,375.,185./
6* TK=STRM(N,22)+273.
7* A67=SA67+B67/TK
8* A68=SA68+B68/TK
9* A78=SA78+B78/TK
10* A76=SA76+B76/TK
11* A86=SA86+B86/TK
12* A87=SA87+B87/TK
13* X6=STRM(N,6)
14* X7=STRM(N,7)
15* X8=STRM(N,8)
16* DATA(6,9)=EXP(A67*X7**2+A68*X8**2+X7*X8*(A67+A68-A78))
16* DATA(7,9)=EXP(A78*X8**2+A76*X6**2+X6*X8*(A78+A76-A86))
16* DATA(8,9)=EXP(A86*X6**2+A87*X7**2+X6*X7*(A86+A87-A67))
19* RETURN
20* END

```

Si nous nous limitons au cas idéal , cela nous permettra de simplifier et d'éviter de modifier la procédure ACTY pour chaque cas .

```

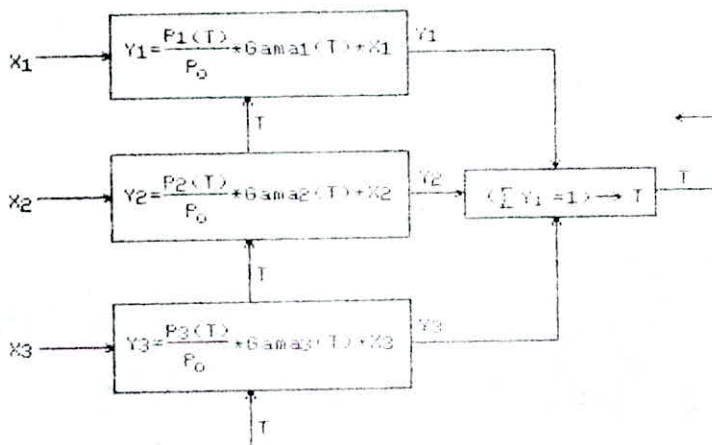
1*  SUBROUTINE ACTY(N)
2*  COMMON/CD/STRM(300,24),DATA(20,10),RTL(22),NCF,NCL,LSTR
3*  DATA(DATA(J,9),J=1,20)/20*1./
4*  RETURN
5*  END

```

Sinon, nous pourrions introduire des valeurs estimées des activités.

II.3.4. Subroutine EQUIL(IL,IU) .

Pour calculer la composition en vapeur Y qui est en équilibre avec la composition X, il faut s'assurer que la pression ambiante est connue. Il est aussi nécessaire de calculer la température d'ébullition. Le modèle utilisé est représenté dans le schéma suivant:



MODELE GENERAL DE L'EQUILIBRE LIQUIDE-VAPEUR.

Soit un mélange de liquide et de vapeur en équilibre.
 A l'équilibre, les potentiels chimiques sont égaux :

$$F_{i1} Y_i P = X_i F_i N_{ui}$$

ou

X_i : Fraction molaire liquide du composé i.

Y_i : Fraction molaire vapeur de composé i.

F_i : Fugacité du composé i pur, à la température d'ébullition T.

F_{i1} : Fugacité du composé i dans le mélange.

P : pression totale

N_{ui} : Activité du composé i dans le mélange.

A une pression modérée et pour un mélange idéal, la relation précédente peut être simplifiée; nous obtenons ainsi :

la loi de Raoult

$$P Y_i = X_i P_i (T)$$

ou $P_i (T)$: Tension de vapeur.

Pour l'appliquer à un mélange non idéal, un coefficient N_{ui} (activité) doit être introduit dans la relation d'équilibre :

$$Y_i = X_i P_i(T) / P N_{ui}$$

La méthode de calcul est itérative, il y a plusieurs moyens d'accélérer la convergence :

* En utilisant CONU :

```
E=1-SUM Yi
T1=T+G*E
CALL CONU(T,T1,1,NC)
```

L'introduction d'un gain G qui varie d'un cas à un autre, constitue l'inconvénient de cette méthode.

* En utilisant la méthode analytique de NEWTON-RAPHSON :

On fait appel à l'équation d'ANTOINE.

$$P_i(T) = \text{EXP} (C_1 + C_2 / (T + C_3)) \quad ; \quad T \text{ en } (C)$$

En introduisant la relation d'équilibre développée précédemment, la variation de la composition vapeur peut s'exprimer par l'équation:

$$\frac{d}{dt} \langle Y_i \rangle = \frac{d}{dt} \{ \text{EXP} \langle C_{1i} + C_{2i} / (T + C_{3i}) \rangle * N_{Ui} * X_i / P \}$$

Si on néglige la variation de l'activité en fonction de la température, on aura :

$$dY_i / dt = - Y_i * C_{2i} / (T + C_{3i})^2$$

Pour N composants, la variation de Y_i avec la température sera :

$$SDY = \text{SUM} \langle dY_i / dT \rangle \quad \text{L'erreur s'exprimera par } YER = 1. - \text{SUM } Y_i$$

Le prochain choix de la température sera : $T = T + YER / SDY$

La boucle est répétée jusqu'à la réduction de YER à moins de 0.001.

Ce calcul est exécuté par la subroutine EQUIL.

II.3.5. Subroutine DEWPT(IU,IL)

Elle calcule le point de rosée d'un flux. L'équation d'équilibre est :

$$X_i = \frac{P Y_i}{P_i(T) N_{Ui}}$$

Pour appliquer la méthode de NEWTON-RAPHSON :

$$\frac{d X_i}{dt} = X_i C_2 / (T + C_3)^2$$

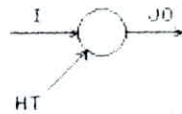
On utilise la même méthode que précédemment.

II.3.6. Subroutine HTEXCH :

Elle peut être utilisée dans les opérations unitaires suivantes:

- Réchauffeur,
- Refroidisseur,
- Super-réchauffeur,
- "Desuperheater".
- Rebouilleur,
- Super-rebouilleur,
- Condenseur total,

Suivant la valeur de HT.



I : Numéro du flux d'entre.
 JO : Numéro du flux de sortie.
 HT : Chaleur apportée + ou - .
 L : Phase; 3 liquide; 0 vapeur.

SCHEMA DES FLUX DE HTEXCH(I,JO,HT,L).

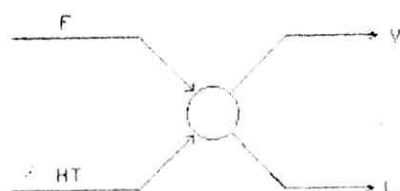
Cette procédure n'est pas adéquate pour le calcul d'un rebouilleur produisant de la vapeur saturée. Elle est valable pour un super-évaporateur (Tout s'évapore dès que HT est suffisante) . Le flux de sortie est soit liquide soit vapeur .

Tableau Classification des opérations unitaires avec changement d'enthalpie

Flux entrant	Chaleur ajoutée	Flux sortant	Opération unitaire
1. Liquide	Positive	Liquide seulement	Réchauffeur
2. Liquide	Négative	Liquide seulement	Refroidisseur
3. Vapeur	Positive	Vapeur seulement	Super-réchauffeur
4. Vapeur	Négative	Vapeur seulement	Desuperheater
5. Liquide	Nulle	Vapeur & liquide	Adiabatique flash
6. Liquide	Positive	Vapeur & liquide	Rebouilleur/évaporateur
7. Vapeur	Négative	Vapeur & liquide	Condenseur partiel
8. Vapeur	Négative	Liquide seulement	Condenseur total
9. Liquide	Positive	Vapeur & liquide	Echangeur de chaleur de type flash

II.3.7. Subroutine FLUSH .

Cette subroutine est utilisée pour le cas des opérations unitaires où le flux d'entrée est converti en deux flux de sortie vapeur-liquide en équilibre .



I : Flux d'entrée.
 JV : Flux vapeur de sortie.
 JL : Flux liquide de sortie.
 HT : Chaleur apportée.

SCHEMA DES FLUX DE FLASH(I,JV,JL,HT).

Si le flux de chaleur est spécifié, il est nécessaire de déterminer la température d'équilibre de sortie. (Sauf pour le cas particulier du condenseur total ou la température est spécifiée).

Si F est un flux vapeur et HT négative on a un condenseur partiel ou total, si F est un flux liquide et HT est positive on a un rebouilleur rapide (flashing boiler).

BILAN DE CHALEUR = chaleur entrante = chaleur sortante.

$$F \cdot hf + HT = U \cdot Hv + L \cdot hl$$

ou F; U et L sont les débits en (mol/min), HT flux de chaleur et Hv; hl; hf sont les enthalpies molaires des différents flux.

Soit $R = U / F$, le bilan de chaleur peut s'écrire =

$$R = \frac{(hf + HT/F - hl)}{(Hv - hl)}$$

BILAN DE MATIERE = $F \cdot X_{Fi} = U \cdot Y_i + L \cdot X_i$ Soit $H_i = Y_i / X_i$

La composition vapeur peut être établie à partir du bilan de matière en utilisant R.

$$Y_i = X_{Fi} \frac{H_i}{1 + R(H_i - 1)}$$

EQUILIBRE =

$$H_i = P_i(T) / P \cdot N_{ui} \text{ ou } P_i(T) = \text{EXP}(C1 + C2/(T+C3))$$

$$N_{ui} = \text{DATA}(i,9) \text{ Activité.}$$

$$P = \text{STRM}(L,24) \text{ Pression totale.}$$

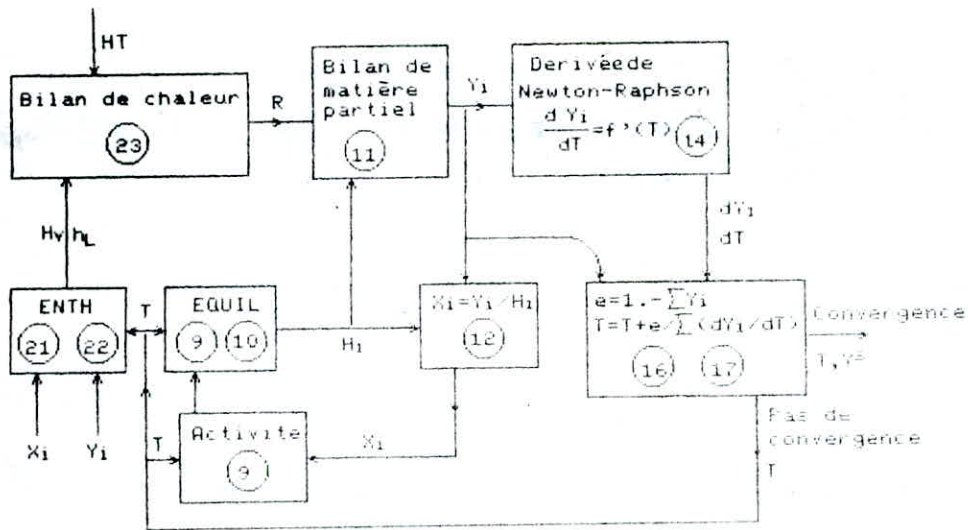
COMPOSITION LIQUIDE = $X_i = Y_i / H_i$

TEMPERATURE = On utilise la méthode de NEWTON-RAPHSON (utilisée précédemment).

$$\frac{dY_i}{dT} = - Y_i \frac{C2}{(T + C3)^2} \quad \text{et} \quad T = T + \text{SUM} \frac{YER}{(dY_i/dT)}$$

$$\text{Ou } YER = 1 - \text{SUM } Y_i$$

Ce calcul est représenté dans le schéma suivant :



SCHEMA DU FLUX D'INFORMATIONS DE FLASH.

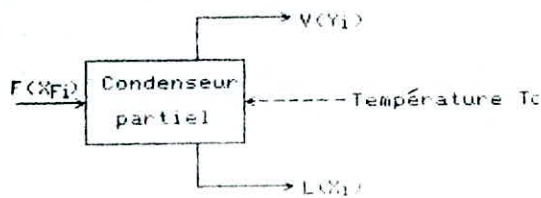
Dans la subroutine FLUSH, si $R > 1$ ou $R < 0$ on a un super-évaporateur ou un condenseur total, respectivement. On peut aussi l'utiliser pour un flash adiabatique dans le cas d'un flux liquide qui passe à travers un orifice ou une vanne de contrôle, et passe à une pression plus basse. Les enthalpies des flux entrant et sortant sont presque les mêmes. Il y a une évaporation due à une grande dépressurisation. Ceci est traduit par FLUSH avec $H_i = 0$.

II.3.8. Subroutine CUBOIL .

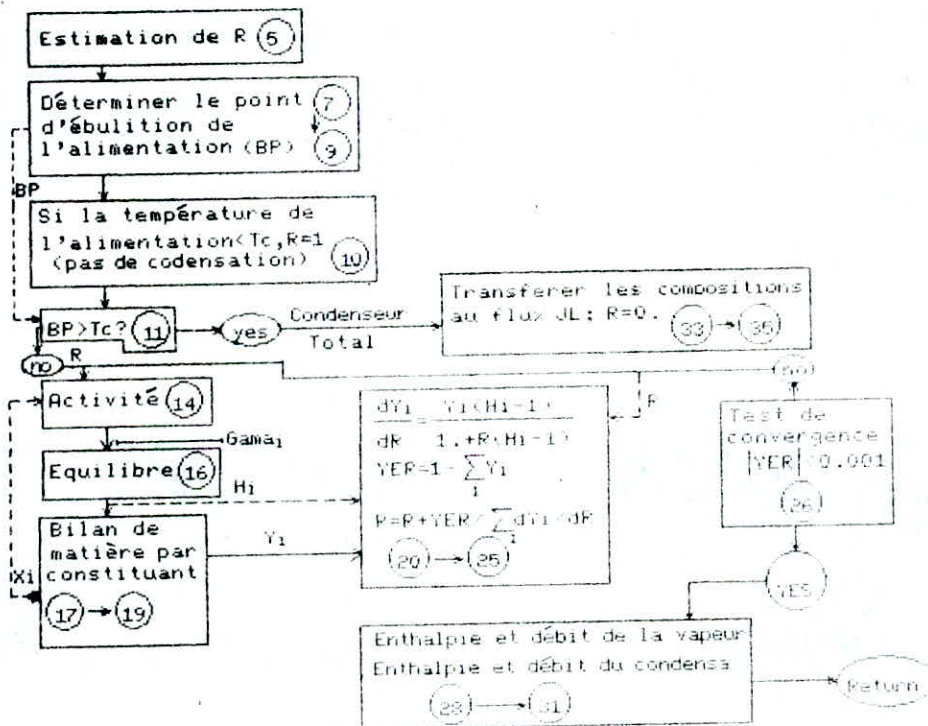
Plusieurs procédés unitaires, comme un rebouilleur ou un évaporateur, opèrent, avec un contrôle approprié, selon le principe que le flux de chaleur détermine le taux d'évaporation. Pour le cas où la rétention peut être négligée. Le débit rentrant est égal au débit sortant. La procédure CUBOIL a été développée (dans le cas d'un rebouilleur à volume constant) pour simuler cette situation.

II.3.9. Subroutine PCON :

Simule un condenseur partiel - (La séparation d'un flux vapeur en un flux liquide et un flux vapeur , en précisant la température). Dans cette subroutine on utilise aussi la méthode de NEWTON-RAPHSON. Elle peut être représentée schématiquement par :



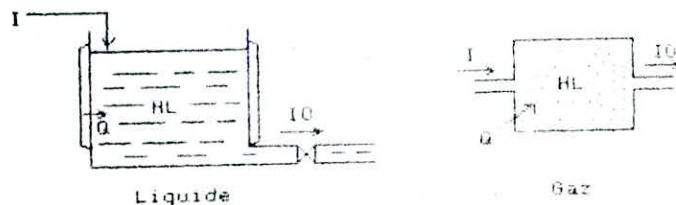
SCHEMA REPRESENTANT PCON.



SCHEMA DU FLUX D'INFORMATIONS DE LA SUBROUTINE PCON .

II.3.10. Subroutine HLDP :

Dans toutes les sous-routines vues jusqu'à présent, il n'y a pas de stockage ou d'accumulation de matière ou d'énergie. Pour rendre la bibliothèque de procédures, développées dans le DYFLO, capable de simuler des situations dynamiques, quelques procédures qui vont suivre incorporent un réservoir dynamique. En commençant par un réservoir de stockage ou simplement un volume monophasique avec une entrée et une sortie.



RESERVOIR MONOPHASIQUE (HLDP).

On considère que le réservoir est agité et les propriétés du flux de sortie sont les mêmes que dans le réservoir. Dans le bilan de matière il faut faire intervenir un terme représentant les pertes dues aux réactions, s'il y a lieu, sinon le terme est nul. Ce terme est représenté par la matrice de réaction RCT.

BILAN = Accumulation = entrée - sortie .

BILAN MOLLAIRE PARTIEL :

$$\frac{d}{dt} X_n = \frac{F_{in} X_{in} - F_{out} X_n + RCT(n) - X_n \frac{dHL}{dt}}{HL}$$

BILAN MOLAIRE TOTAL :

$$\frac{d}{dt} HL = F_{in} - F_{out} + RCT(21)$$

d' ou :

$$\frac{d}{dt} X_n = \frac{F_{in} (X_{in} - X_n) + RCT(n) - RCT(21) X_n}{HL}$$

de même le bilan d'énergie est :

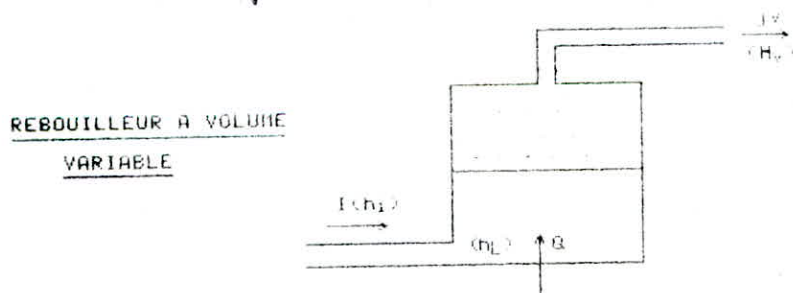
$$\frac{d(ENo)}{dt} = (F_{in} ENi - ENo (F_{out} + dHL/dt) + Q + RCT(22))/HL$$

ou ENo = Enthalpie molaire

Ces équations sont programmées dans la subroutine HLDP.

II.3.11. Subroutine VUBOIL .

Cette subroutine simule un rebouilleur à volume variable (avec accumulation ou rétention). La subroutine CUBOIL présentée précédemment permet la simulation d'un rebouilleur à volume constant, ou le flux d'entrée est instantanément transformé en vapeur. Nous avons vu également, la subroutine HLDP permettant la simulation d'un réservoir à volume variable (avec accumulation). Le mixage de ces deux subroutines donne VUBOIL. La figure suivante décrit le système à simuler, constitué d'un noeud IBL d'un flux d'entrée I, et d'un flux de sortie JO. Le rebouilleur reçoit un flux de chaleur Q. Il peut y avoir une réaction dont les données sont dans la matrice RCT. Les équations de base de ce système sont similaires à celles de la subroutine HLDP, décrite précédemment.



Bilan molaire =
$$\frac{d HL}{dt} = F_I - F_{JU} + RCT(21)$$

ou HL = Quantité en (moles).

F = Débit des flux.

Bilan de chaleur :

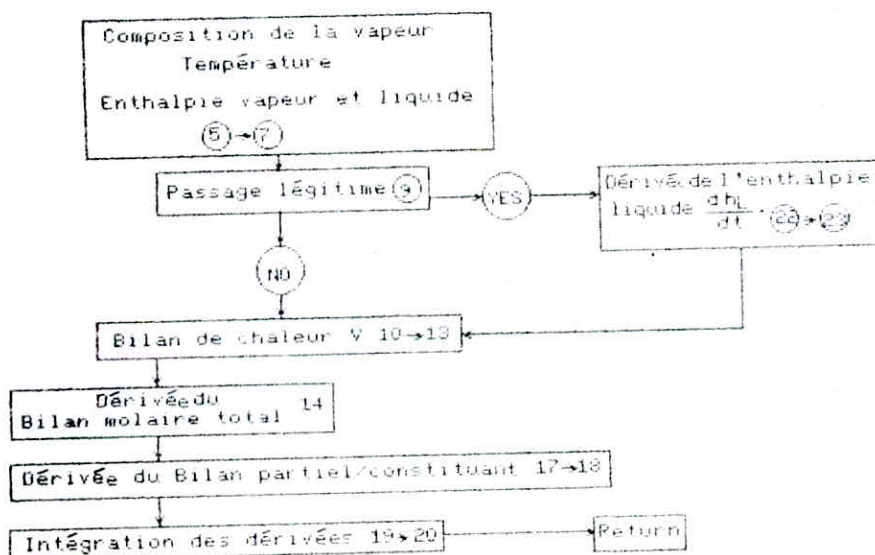
Enthalpie totale ajoutée = Flux de chaleur + Enthalpie de réaction + Enthalpie du flux entrant

$$QP = Q + RCT(22) + F_I H_I$$

Débit d' évaporation =
$$F_{JU} = \frac{QP - h_L \frac{d HL}{dt} - HL \frac{d h_L}{dt}}{H_v}$$

où hL et Hv = Enthalpies molaires .

Le terme d hL/dt représente l'accumulation de chaleur dans le volume liquide , toujours petite , mais on doit en tenir compte ici .



SCHEMA DU FLUX D'INFORMATION DE WYBOIL.

La dérivée de l'enthalpie liquide hL est obtenue de même la manière que dans la subroutine DER (présentée précédemment).

Bilan partiel du constituant N =

Flux d'entrée :
$$FNI = F_I X_{NI} + RCT(N)$$

Accumulation = entrée - sortie .

$$\frac{d}{dt} \langle HL \ XN \rangle = FNI - FJU \ YN .$$

Cette équation peut être écrite sous la forme :

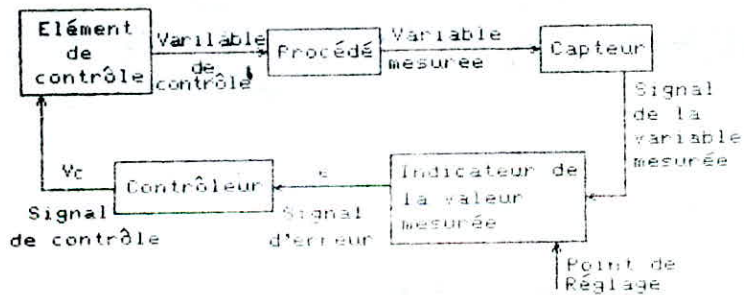
$$DERN = \frac{d \ XN}{dt} = \frac{FNI - FJU \ YN - XN \ d \ HL / dt}{HL}$$

Le schéma du flux d'information est présenté dans la figure précédente.

II.3.12. Subroutines de contrôle .

Le DYFLO propose un ensemble de procédures pour le contrôle de procédés. Quelques unes sont brièvement présentées par la suite.

La figure suivante montre un schéma type d'une boucle de régulation.



SCHEMA TYPE D'UNE BOUCLE DE REGULATION.

Dans ce qui suit, nous présentons des procédures simulant l'action d'éléments de mesure et celle de régulateurs.

a. Eléments de mesure .

procédure IFN1

Cette procédure simule l'action des éléments de mesure, pouvant être décrits par une fonction de transfert du premier ordre.

$$XIN \text{ -----} \rightarrow OUT / XIN = GAIN / (TC * s + 1) \text{ -----} \rightarrow OUT$$

ou XIN = entrée.

OUT = sortie.

GAIN = gain.

TC = constante de temps.

s = variable de LAPLACE .

L'équation différentielle équivalente s'écrit :

$$d(OUT)/dt = (GAIN * XIN - OUT) / TC$$

Le listing de cette procédure est présenté en annexe.

procédure IFN2

La forme générale d'une fonction de transfert du second ordre est la suivante :

$$XIN \text{ -----} \rightarrow OUT / XIN = GAIN / (TC ** 2 * s ** 2 + 2 * ksi * TC * s + 1) \text{ -----} \rightarrow OUT$$

ou XIN = entrée.

OUT = sortie.

GAIN = gain.

TC = constante de temps.

s = variable de LAPLACE .

ksi = coefficient d'amortissement.

Cette expression définit la relation dynamique entre le signal d'entrée et le signal de sortie passant à travers un SL2.

L'équation différentielle équivalente à la fonction de transfert d'un SL2 s'écrit:

$$\frac{d^2 \text{OUT}}{dt^2} = (\text{GAIN} * \text{XIN} - \text{OUT}) * \text{A1} - \text{A2} * d(\text{OUT})/dt$$

ou $\text{A1} = 1/(\text{TC}^2)$ à $\text{A2} = \text{ksi}/\text{TC}$

La double intégration nécessaire dans ce cas est faite par la subroutine TFN2.

b. Régulateurs :

Dans ce qui suit nous présentons les procédures simulant l'action des trois principaux types de régulateurs à savoir :

- * régulateur à action proportionnelle RP
- * régulateur à action proportionnelle et intégrale RPI
- * régulateur à action proportionnelle intégrale et dérivée RPID.

Subroutine CONIR1

Cette subroutine simule l'action d'un RP.

Subroutine CONIR2

Cette subroutine simule l'action d'un RPI.

Subroutine CONIR3

Cette subroutine simule l'action d'un RPID.

c. autre procédure :

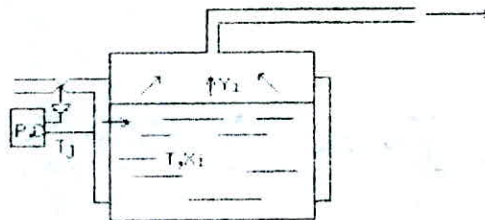
Subroutine IDL

Cette subroutine permet de simuler un retard

N.B : Le DYFLO comporte d'autres procédures qui ne sont pas présentées ici. Ces subroutines concernent la cinétique réactionnelle, dynamique des fluides. ...

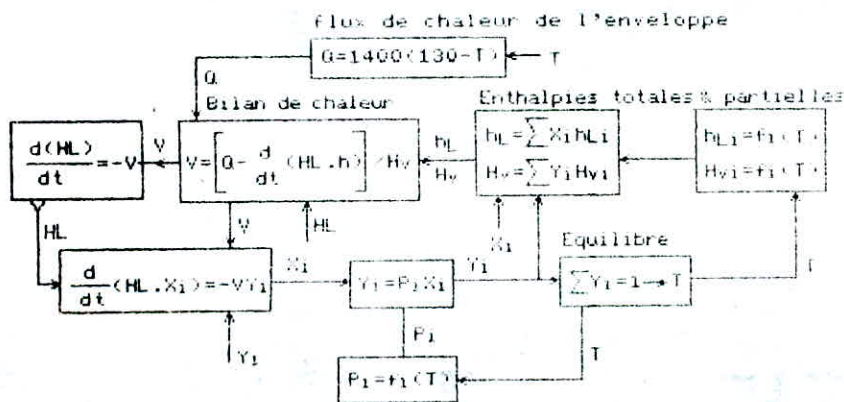
II.4. Exemple d'application du DYFLO .

Nous avons pris comme exemple d'utilisation du DYFLO celui présente dans le R.G.E FRANKS [1]. Il s'agit d'une distillation discontinue (Batch distillation). Le système à simuler est présenté dans la figure suivante :



DISTILLATION BATCH

Le modèle est présenté dans le schéma suivant :



MODELE MATHEMATIQUE DE LA DISTILLATION BATCH.

Le listing du programme simulant ce système suivant DYFLO est :

```

1* C ** DONNEES **
2* COMMON/CD/STRM(300,24),DATA(20,10),RCT(21),NCF,NCL,LSTR
3* LOGICAL LSTR,NF
4* DATA(DATA(1,N),N=1,8)/13.46,-5210.,273.,8.,.01,9020.,20.,.02/
5* DATA(DATA(2,N),N=1,8)/15.2,-6050.,273.,12.2,.02,11500.,32.,.01/
6* DATA(DATA(3,N),N=1,8)/15.4,-5312.,273.,6.5,.01,7500.,16.,.03/
7* C ** INITIALISATION **
8* DATA(STRM(2,N),N=1,3)/.43,.31,.26/NCF,NCL/1,3/
9* DATA(STRM(2,N),N=21,24)/350.,95.35,0.,1./
10* LSTR=.TRUE.
11* CALL EQUIL(2,3)
12* C ** SECTION DE DERIVATION **
13 7 Q=1400.*(130.-STRM(2,22))
14* CALL VUBOIL(1,3,2,Q)
15* CALL PRL(10.,60.,NF,2,3,0,0,0,0,0,0,0,0,0,0,0,0,0,0,0,0)
16* IF (NF) GOTO 10
17* C ** SECTION D'INTEGRATION **
18* 5 CALL INTI(TIM,1.,4)
19* GOTO 7
20*10 STOP
21* END

```

Les résultats de simulation présentés par ce programme seront :

```

TIME = .0000
STRM NO      2          3
FLOW         .3500+03   .7291+01
TEMP         .9535+02   .9535+02
ENTHAL       .2340+04   .8994+04
PRESS        .1000+01   .0000
COMP 1       .4300+00   .2169+00
COMP 2       .3100+00   .9110-01
COMP 3       .2600+00   .6920+00

```

```

TIME = .1000+02
STRM NO      2          3
FLOW         .2912+03   .5291+01
TEMP         .1003+03   .1003+03
ENTHAL       .2539+04   .9326+04
PRESS        .1000+01   .0000
COMP 1       .4668+00   .2840+00
COMP 2       .3508+00   .1282+00
COMP 3       .1824+00   .5878+00

```

```

TIME = .2000+02
STRM NO      2          3
FLOW         .2440+03   .4216+01
TEMP         .1056+03   .1056+03
ENTHAL       .2748+04   .9752+04
PRESS        .1000+01   .0000
COMP 1       .4947+00   .3657+00
COMP 2       .3894+00   .1783+00
COMP 3       .1160+00   .4560+00

```


II.5. Conclusion sur le DYFLO .

Les problèmes de dynamique des procédés, pendant les années 1955-1965, étaient résolus par des calculateurs analogiques. Durant les années 1965-1970, les calculateurs numériques sont devenus les outils favoris pour la simulation de procédés chimiques, avec ce qu'ils offraient comme rapidité de calcul, capacité de mémoire, possibilité de développer une librairie ... etc.

Le DYFLO a été conçu à cette époque, en FORTRAN IV. Depuis, l'informatique a fait un grand chemin, avec l'apparition de la micro-informatique, des stations de travail avec de grandes possibilités d'entrée-sortie (- interactivité et convivialité; - graphisme très haute résolution; - contrôle et commandes: ...etc), et l'apparition de la programmation object (système expert; intelligence artificielle). Le FORTRAN, qui a été longtemps le langage scientifique le plus utilisé, n'est plus en mesure d'offrir toutes ces possibilités (du moins, pas aisément.). Le DYFLO en FORTRAN ne peut pas suivre cette évolution et ne peut pas exploiter toutes les ressources qu'offre le matériel informatique de nos jours. De plus, sa librairie permet de simuler des opérations unitaires élémentaires, et il n'y a pas de procédure pour simuler un appareil de génie chimique. Pour cela il faut écrire tout un programme, ce qui rend difficile la généralisation et la simulation de procédés complexes.

III. REALISATION DU LOGICIEL DE SIMULATION .

III.1. Introduction .

Ou les inconvénients et les limites que présente le DYFLO en FORTRAN IV, nous avons traduit et adapter la librairie du DYFLO au langage C. Nous proposons, aussi, de développer une librairie pour simuler des appareils de génie chimique avec des modèles proposés, et une façon de relier ces appareils. Nous avons réalisé une interface utilisateur interactive, offrant des possibilités graphiques et facilitant la manipulation de ces appareils, l'introduction des paramètres et la présentation des résultats de la simulation.

III.2. Adaptation des procédures du DYFLO au langage C .

III.2.1. Pourquoi le langage C ?

Le langage C est aujourd'hui le langage de développement le plus répandu, il le doit à ses qualités, car, contrairement à FORTRAN qui s'imposa grâce au support actif d'IBM, C a dû convaincre les développeurs petit à petit. Il est souvent appelé "langage assembleur évolué". Il est structuré, très "près" de la machine, déclaratif, compilable, récursif, portable ...

Il a permis de reprogrammer le noyau d'UNIX et des utilitaires accompagnant ce système d'exploitation.

Le langage C a eu des débuts plutôt élitistes. Il ne fût guère disponible que sous UNIX avant 1977, et les programmeurs C acquirent, rapidement, une réputation fort justifiée de "hacker", qu'ils se forcèrent d'entretenir.

Avec l'apparition de version du C sur micro-ordinateur il a permis au développeurs professionnels de travailler chez eux vu sa portabilité. L'apparition d'E.D.I (Environnement de Développement Intégré) qui comporte à la fois éditeur, compilateur, linker et débogueur a facilité grandement la programmation en C (Turbo C; Quic C.).

IL permet l'exploitation de toute les ressources de la machine. Il peut être utilise dans la commande et le contrôle. De plus il a une bibliothèque mathématique très riche. Il permet de développer des applications sophistiquées et de mener de grands projets informatiques. Il facilite le travail d'équipe. Il peut manipuler des objets. (Dernièrement, il y a eu l'apparition du C++ qui est une version du C orienté OBJET). De nos jours programmer en C, c'est s'ouvrir les portes de, pratiquement, toutes les machines existantes.

III.2.2. Structure adoptee .

Nous avons adopte la mene structure que le BYFLO, C'est la structure adoptee, generalement, par tous les logiciels de simulation de procedes, en definissant des flux numerotes. Cette structure est aussi adoptee dans la simulation modulaire. La structure est presentee en detail au paragraphe .II.2. .

III.2.3. Présentation des procédures du DYFLO traduites en C

Nous avons regroupé l'ensemble des procédures en cinq fichiers "headers":

* NUMERIQUE.C : Fichier contenant les traductions en C des procédures numériques déjà présentées au paragraphe (II.1.). Les prototypes de ces procédures sont :

```
float INI(float *px, float dx);  
float INII(float *ptd, float *pddd, int iod);  
int CONU(float *px, float *py, int nr);  
int EPS(float *px, float *pxc, float r);  
int DER(float y, float x, int i);
```

Le listing complet de NUMERIQUE.C est présenté en annexe (1).

* ETAT.C : Fichier contenant les procédures concernant l'état thermodynamique des flux. Ces procédures sont les traductions en C de procédures déjà présentées en FORTRAN au paragraphe II.3. Les prototypes de ces procédures sont :

```
void ENTHL(int i);  
void ENTHU(int i);  
void TEMP(int i, int I);  
void ACTY(int n);  
void EQUIL(int il, int io);  
void DEUPT(int io, int il);
```

Le listing complet de ETAT.C est présenté en annexe (2).

* UNITETAT.C : Fichier contenant les procédures des opérations unitaires concernant l'étude de l'état et des transformations d'état. Ces procédures sont les traductions en C de procédures déjà présentées en FORTRAN au paragraphe II.3.

Les prototypes de ces procédures sont :

```
void SUM(int i, int j, int k, int l);  
void SPLIT(int j, int k, int m, float rkj);  
void HTEXCH(int i, int jo, float ht, int l);  
void CSHE(int isi, int iso, int iti, int ito, float ua, int ips,  
          int ipt, int nsf, int nsl, int ntf, int ntl);  
void FLUSH(int i, int jo, int jl, float ht);  
void CUBOIL(int i, int jo, float ht);  
void PCON(int i, int jo, int jl, float to);
```

Le listing complet de UNITETAI.C est présenté en annexe {3}.

* UNITDYN.C ■ Fichier contenant les procédures des opérations unitaires dynamiques. Une seule procédure (HLDP) a été décrite au paragraphe .II.3. Les autres procédures vont être présentées par la suite. Les prototypes de ces procédures sont :

```
void REB(float a, float b, float co, float wo, int jf, int jb);  
void BOT(int li, int lo, int io, float q, float hl);  
void STAGE(int i1, int i2, int i1, int io, float h, float hl, float htc);  
void ST6F(int i1, int i2, int i3, int i1, int io, float h, float hl,  
          float htc);  
void STAGE(int i1, int i2, int i1, int io, int is, float h, float hl,  
          float htc);  
void HLDP(int i, int io, int l, float hl, float q);
```

Le listing complet de UNITDYN.C est présenté en annexe {4}.

* CONTROL.C ■ Fichier contenant des procédures utilisées dans le contrôle. Les prototypes de ces procédures sont:

Le listing complet de CONTROL.C est présenté en annexe {5}.

L'une des manières d'exploiter le travail qui a été fait est d'appeller les procédures précédentes à partir d'un programme en C (ou même en TURBO PASCAL) pour simuler un système de génie chimique donné. En C, pour utiliser l'une de ces procédures, il suffit d'inclure, dans le programme, le fichier où elle est présentée.

III.2.3. Conclusion .

Jusqu'ici, nous avons adapté les procédures du DYFLO, faites en FORTRAN IV, au langage C. A ce niveau, nous pouvons réaliser des programmes de simulation de procédés en C, en procédant comme avec le DYFLO et en faisant appel à la librairie développée. En plus, nous bénéficions de la commodité d'utilisation de bibliothèques en C (En incluant uniquement les procédures utilisées, ce qui réduit la taille du programme exécutable), de la librairie mathématique très riche du C, de sa rapidité de calcul et de la librairie graphique du C.

III.3. Réalisation d'une procédure générale simulant un appareil de génie chimique .

III.3.1. Introduction :

La librairie du DYFLO ne contient pas de procédure pour simuler un appareil. Elle se limite à un ensemble de procédures simulant des opérations unitaires élémentaires auxquelles il faut faire appel, dans un programme, pour simuler un appareil.

Nous nous proposons d'ajouter à notre librairie en C des procédures pour simuler des appareils entiers, selon des modèles proposés, qui peuvent être modifiés ou améliorés. Pour cela nous nous limitons à un seul appareil. Nous avons choisi le procédé unitaire le plus courant, mais aussi le plus complexe dans l'industrie chimique et pétrochimique, qui est la colonne de distillation. La complexité de la distillation dans une colonne varie d'une simple séparation d'un mélange binaire à la séparation d'un mélange complexe à plusieurs constituants, non idéale, avec réaction, avec plusieurs alimentations et plusieurs soutirages.

Le DYFLO propose une subroutine simulant un étage normal, STAGE, un étage avec alimentation, STGF, et un étage avec soutirage STGS. Ces procédures sont présentées dans la suite et ont été adaptées au langage C.

III.3.2. Réalisation d'une procédure générale simulant une colonne de distillation selon un modèle .

a. Présentation du modèle .

La première approximation, qui est faite dans la plupart des simulations de colonnes de distillation, est de décrire la colonne en termes d'étages théoriques. Une colonne de 20 étages réels avec une efficacité de 70% peut être correctement représentée par une colonne à 14 étages théoriques d'équilibre, chaque étage ayant un retenu de $(1/0.7)$ fois le retenu par plateau de la colonne réelle

Le cas le plus général de distillation est la séparation de mélange complexe à plusieurs constituants. Pour chaque constituant i et pour chaque plateau n , le bilan massique sera :

$$(I) \quad \frac{d}{dt} (X_n^i) = L_{n+1} X_{n+1}^i + U_{n-1} Y_{n-1}^i - L_n X_n^i - U_n Y_n^i$$

La relation d'équilibre liquide-vapeur pour chaque constituant est :

$$(II) \quad Y_n^i = [K_i(T_n)/P_n] (N U_i X_n^i)$$

ou $K_i(T_n)$: Pression de vapeur du composant pur

$N U_i$: Activité

P_n : Pression totale dans le plateau n .

Le bilan massique du constituant i (I) donne la composition liquide, et la relation d'équilibre (II) est utilisée pour déterminer la composition vapeur et la température T_n dans le plateau sachant que :

$$\sum_i Y_n^i = 1 \quad (III)$$

donc (I) $\rightarrow X_n^i$; d'ou Y_n^i & T_n .

Le bilan de chaleur est :

$$(IV) \quad \frac{d}{dt} (H_n T_n) = Q_{n-1} + q_{n+1} - Q_n - q_n$$

ou Q : Enthalpie de la vapeur

q : Enthalpie liquide.

H_n : Capacité calorifique dans le plateau n .

L'accumulation $d(H_n - I_n)/dt$ est négligeable par rapport au flux de chaleur Q entre les Plateaux. Ce terme peut donc toujours être annulé.

Les enthalpies des courants vapeur et liquide sont définis, en termes de composition et de température comme suit :

$$Q = U \sum Q_i Y_i \quad ; \quad Q_i = \alpha_{fi} + \beta_{fi} T$$

Où U : Débit du flux vapeur .

Q_i : Enthalpie du constituant i .

Le modèle complet d'un étage, pour un mélange à quatre constituants, est donné dans la **fig -III.1-** .

Les Bilans massiques partiels établissent les compositions liquides et les bilans massiques totaux établissent les débits liquides (qui passent par un retard représentant l'approximation de la dynamique des fluides de l'étage). L'équation d'équilibre liquide-vapeur établit les compositions vapeurs, et le bilan de chaleur définit les débits vapeur U_n quittant le plateau n .

Nous avons déjà une série de procédures capables de simuler des opérations simples, nous avons besoin d'autres procédures qui peuvent être assemblées pour simuler une colonne de distillation. L'objectif sera de développer un programme capable de simuler le fonctionnement dynamique d'une colonne qui, à l'état d'étude, permet de prévoir les profils de composition, de température, et de débits le long de la colonne. Le programme utilisant le modèle de l'étage présenté à la **fig -III.1-** satisfait plusieurs situations, mais pourrait être inefficace pour d'autres cas à étudier.

b. Stabilité de la simulation .

Les études faites dans le domaine de la simulation dynamique numérique d'une colonne de distillation, ont révélé que les calculs ont une grande tendance à devenir instable. Ceci est dû à la présence, dans le système, d'équations différentielles ayant une constante de temps très petite comparée à la constante de temps dominante du système. De plus il y a des constantes de temps qui varient avec les paramètres et les conditions. Pour palier à ce problème, nous devons soit prendre un pas d'intégration très petit (Ce qui satisfait toutes les situations mais cela demande un temps de calcul très long.), soit adopter la méthode suivante .

Les principales caractéristiques dynamiques des colonnes de distillation sont dues à l'accumulation et au bilan de tous les constituants et pour chaque étage. Un programme général consiste à résoudre à chaque étage l'équation différentielle suivante :

$$(U) \quad \frac{d X_n}{dt} = \frac{(U_{n-1} Y_{n-1} + L_{n+1} X_{n+1}) - U_n Y_n - L_n X_n}{H}$$

Où H = Retenu (Holdup) .

X = Composition liquide .

Y = Composition vapeur .

En définissant le rapport d'équilibre :

$$K_n = Y_n / X_n ,$$

et en substituant dans (U), on aura :

$$\frac{d X_n}{dt} = \frac{(U_{n-1} Y_{n-1} + L_{n+1} X_{n+1}) - (U_n K_n + L_n) X_n}{H}$$

Cette dernière équation peut être écrite sous la forme :

$$\frac{d X_n}{dt} = \frac{1}{t_0} (F_i - X_n) .$$

Où la constante de temps t_0 sera : $t_0 = H / (U_n K_n + L_n)$

Cette constante de temps établit la taille de pas critique de l'équation différentielle. C'est en fonction du retenu par étage H , du débit de la vapeur qui monte U_n et du débit liquide L_n . Ce sont des grandeurs communes pour tous les composants dans la colonne. C'est aussi en fonction du rapport de composition vapeur/liquide K_n qui est spécifique pour chaque constituant.

$$\text{Max} (t_0) = \lim_{K_n \rightarrow 0} (H / (U_n K_n + L_n)) = H / L_n .$$

$$\lim_{K_n \rightarrow \infty} (t_0) = 0 .$$

Donc une grande valeur de K rend la constante de temps très petite ce qui impose le choix d'un pas d'intégration aussi petit. (t_0 peut être très petit pour une évaporation rapide ou très grand pour une évaporation lente.)

La solution ne consiste pas à adopter un pas d'intégration très petit, mais l'équation différentielle qui demande un pas très petit n'est pas intégrée, elle est résolue algébriquement, comme suit :

1. Calculer K_i pour le constituant i , ($K_i = Y_i / X_i$ à l'étage n)
2. Si $K_i < 5$, calculer la dérivée et intégrer.
3. Si $K_i > 5$ résoudre algébriquement pour Y_i et obtenir X_i par équilibre.
4. pour $K_i = 5$, la méthode est choisie arbitrairement.)

La résolution algébrique pour Y_i est simple. L'étude d'état du bilan partiel, au plateau n , est :

$$\text{Entrée} - \text{Sortie} = 0$$

$$\langle L_{n+1} X_{n+1} + U_{n+1} Y_{n+1} \rangle - \langle L_n X_n + U_n Y_n \rangle = 0$$

Remplaçons par $K_n = Y_n/X_n$, on aura :

$$Y_n \langle L_n/K_n + U_n \rangle = L_{n+1} X_{n+1} + U_{n-1} Y_{n-1}$$

Finalement :

$$Y_n = \langle L_{n+1} X_{n+1} + U_{n-1} Y_{n-1} \rangle / \langle L_n/K_n + U_n \rangle \quad \& \quad X_n = Y_n/K_n$$

Physiquement ces équations expriment que dans le cas de composé relativement volatil, la plus grande partie du liquide s'écoulant du plateau $\langle L_{n+1} X_{n+1} \rangle$ s'évapore et passe à l'étage $n+1$, dans la vapeur $\langle U_n Y_n \rangle$. Cette situation est schématisée dans la **figure -III.2-**.

c. Procédure simulant un étage normal STAGE .

Cette procédure représente le programme du modèle présente pour un étage dans la **fig -III.1-**. Pour des raisons de commodité les modifications suivantes sont apportées aux équations de base. Le retenu molaire total HL est considéré constant, mais la différence entre le débit d'entrée et le débit de sortie est prise en compte dans les bilans de matière et de chaleur.

$$\frac{d HL}{dt} = DHL = FLIN - U_n - L_n \quad \langle VI \rangle$$

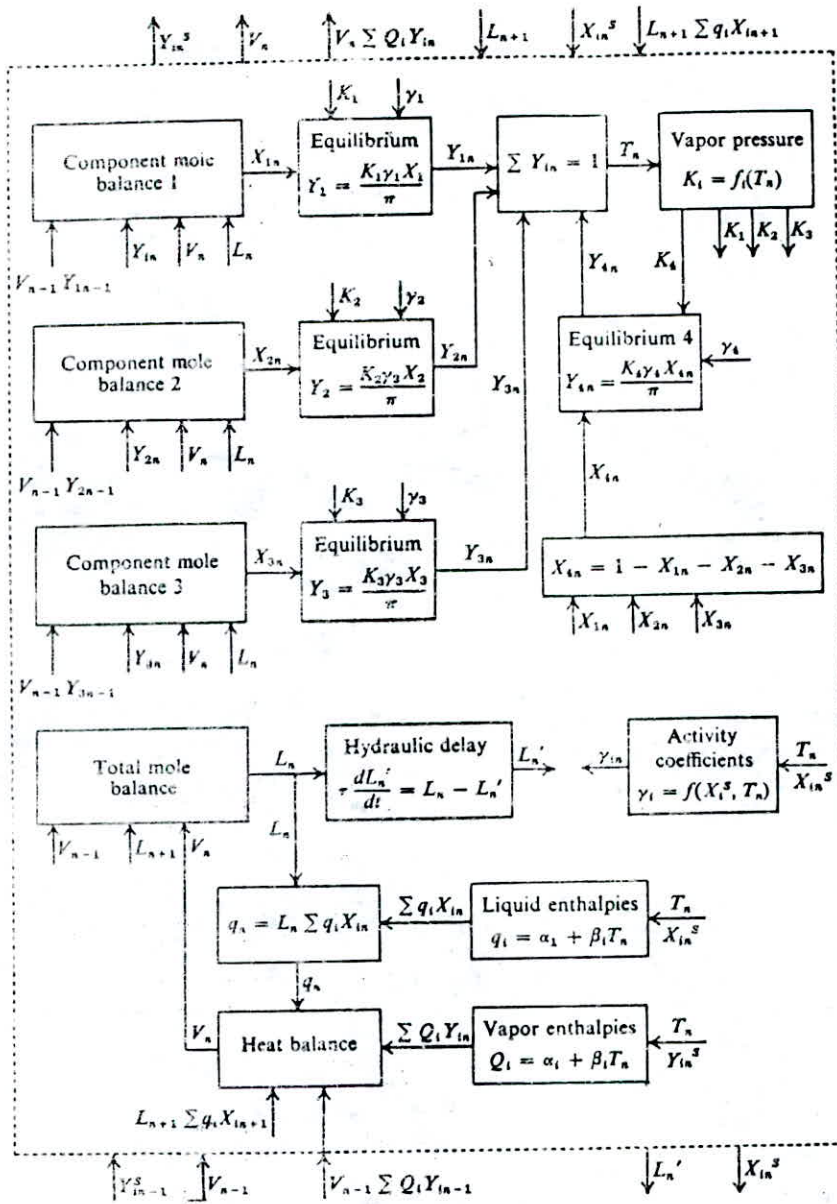


FIG-III.1- SCHEMA DU MODELE D'UN ETAGE (PROCEDURE STAGE).
[1]

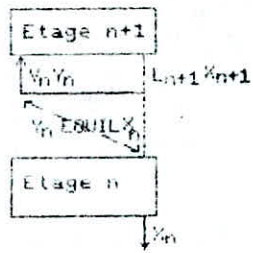


FIG -III-2- CAS DES COMPOSANTS VOLATILS.

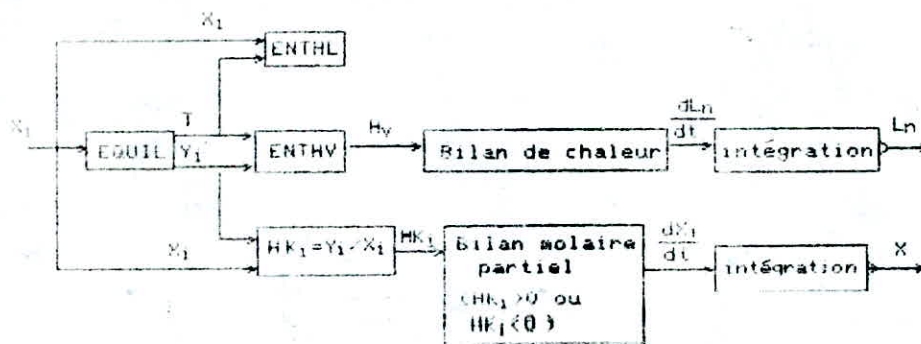
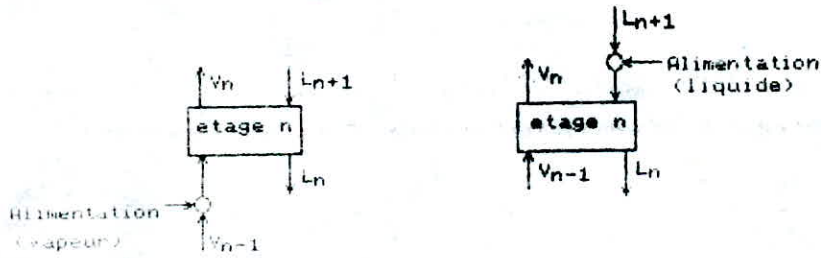


FIG-III-3- FLOUX D'INFORMATION DE LA SUBROUTINE STAGE . E11



Alimentation vapeur

Alimentation liquide

FIG -III-4-

Flux liquide de sortie = $\frac{d}{dt} (Ln) = DHL / HIC$

Où $FLIN = L_{n+1} + U_{n-1} + RCT(21) = \text{Flux d'entrée total}$

HIC = Constante de temps hydraulique (retard)

Bilan de chaleur :

La chaleur entrante est définie par :

$$HIN = (U H_u)_{n-1} + (L h_l)_{n+1} + RCT(22) + H$$

Où H est un flux de chaleur supplémentaire en cas de perte ou de gain.

Le bilan de chaleur à l'étage n sera :

Accumulation = Entrée - Sortie

$$\frac{d}{dt} (HL h_l) = HIN - (U H_u + L h_l)_n$$

Où HL = retenu liquide à l'étage (moles)

En différenciant, on obtient :

$$HL \frac{d h_l}{dt} + h_l \frac{d HL}{dt} = HIN - (U H_u + L h_l)_n$$

Où $\frac{d HL}{dt} = DHL$, déjà défini.

En négligeant le premier terme $HL \frac{d h_l}{dt}$

on aura : $\frac{d h_l}{dt} = \frac{HIN - FLIN * h_l}{H_u - h_l}$

Cette dernière équation est programmée dans la procédure.

< Le fait de négliger $HL \frac{d(HL)}{dt}$ est justifié si la variation de l'enthalpie liquide est petite dHL/dt >

Bilan molaire d'un constituant = Accumulation = Entrée - Sortie

$$\frac{d}{dt} \langle HL X \rangle_n = \langle L X \rangle_{n+1} + \langle U Y \rangle_{n+1} + RCT(N) - \langle L X \rangle_n - \langle U Y \rangle_n$$

En différenciant et en substituant $d(HL)/dt$ par DHL on aura :

$$\frac{d X_n}{dt} = \frac{\langle L X \rangle_{n+1} + \langle U Y \rangle_{n+1} + RCT(N) - FLIN X_n - U \langle Y - X \rangle_n}{HL}$$

Dans le listing de la subroutine STAGE (présenté en annexe (4)), les 3 premiers termes sont sommés dans ENIN

H représente un flux de chaleur dû à une perte ou à un gain par transfert, autre qu'une chaleur réactionnelle qui est prise en compte par RCT(22)

Le schéma du flux d'informations de cette procédure est représenté dans la figure -III.4-

d. Procédure simulant un étage avec alimentation STGF .

Un plateau d'alimentation peut être simulé en ajoutant au flux vapeur entrant dans l'étage la vapeur d'alimentation, ou en ajoutant un flux liquide au flux liquide entrant dans l'étage (figure-III.3-).

Ceci peut être réalisé par la procédure SUM dont le listing est en annexe (3). Il serait plus élégant de développer une procédure, similaire à STAGE incluant une alimentation. < Cette procédure est représentée par STGF dont le listing est en annexe (4) >.

Le flux d'alimentation, dans la procédure STGF, peut être un liquide ou une vapeur, ou un mélange liquide-vapeur en équilibre. Ceci est déterminé par les données suivantes: enthalpie, composition et pression, contenues dans la matrice SIRM. Pour cette raison avant d'appeler STGF on doit spécifier toutes les données du flux d'alimentation.

e. Procédure simulant un étage avec soutirage STGS .

Comme pour l'étage d'alimentation, un étage avec soutirage peut être réalisé avec la procédure SPLII (présentée en annexe (3)), mais il est préférable d'utiliser une procédure similaire à STAGE avec soutirage STGS. Le listing de STGS est présenté en annexe (4).

f. Procédure simulant le bas de la colonne BOT .

La base de la colonne nécessite un traitement particulier pour les raisons suivantes :

1. Il y a un flux de chaleur entrant Q établissant le flux d'évaporation.
2. Le retenu (HOLDUP) est variable et considérable, la variation en enthalpie ne peut pas être négligeable.
3. Le flux liquide sortant du bas de la colonne est déterminé extérieurement (vanne) éventuellement par contrôle .

La variation du retenu en moles est :

$$\frac{d HL}{dt} = LI - LO - IU + RCT(21) = DHL .$$

Les flux sont représentés dans la fig -III.5-

Bilan de chaleur :

$$\frac{d}{dt} (HL h1) = Q - LO h1 - IU Hv$$

En différenciant et en rearrangeant on aura :

$$IU = \frac{Q - LO h1 - HL \frac{d(h1)}{dt} - h1 \frac{d(HL)}{dt}}{Hv}$$

En substituant $\frac{d(HL)}{dt} = DHL$ on aura :

$$IU = \frac{Q - h1 (LO + DHL) - DENL}{Hv}$$

Où $DENL = HL \frac{d(h1)}{dt}$

Ce calcul est effectué par la procédure BBT dont le listing est donné en annexe {4}.

g. Procédure simulant le rebouilleur REB .

Un design courant du rebouilleur d'une colonne de distillation est représenté dans la figure -III.6-

Le liquide du bas de la colonne entre à la base de l'échangeur, au niveau des tubulures latérales, où il est partiellement vaporisé, puis le mélange des deux phases retourne dans la colonne, où il est séparé. L'écoulement du liquide du bas de colonne vers le rebouilleur, se fait automatiquement (thermosyphon). La chaleur est apportée par un flux entrant par une vanne de contrôle. La vapeur se condense à l'extérieur du tube à une température (T_c) plus élevée que la température au bas de colonne (T_b). Ceci crée un gradient de température qui entraîne le flux de chaleur H au bas de la colonne.

La simulation d'une colonne de distillation doit inclure l'opération et les caractéristiques dynamiques du rebouilleur. Les deux principales caractéristiques sont :

1. Le débit de la vapeur d'échauffement à travers la vanne de contrôle est :

$$W = B C_v \text{SQRT}(P_s (P_s - P_c))$$

Où B = Fraction d'ouverture de la vanne (%) .

C_v = Capacité de la vanne (moles/(min atm)) .

P_s = Pression de la vapeur d'échauffement à l'entrée de la vanne (atm)

P_c = Pression de la vapeur condensée (atm) .

Cette expression du débit est valable pour un écoulement subcritique ($P_c > P_s/2$, c'est généralement le cas). La pression de condensation P_c est donnée par l'équation d'Antoine en fonction de la température :

$$P_c = \text{EXP}(C_1 + C_2/(T_c + C_3))$$

2. Dynamique du rebouilleur. Le rebouilleur peut être schématisé par la forme équivalente représentée dans la fig -III.7-

La température du tube est établie par l'équation différentielle suivante :

$$\frac{d}{dt} (T_m U_c) = (H_1 - H_2)$$

Où U_c = Capacité calorifique du tube (PCU/C).

H_1 = Flux de chaleur de la vapeur vers le tube (PCU/min).

H_2 = Flux de chaleur du tube au fluide de bas de colonne (PCU/min).

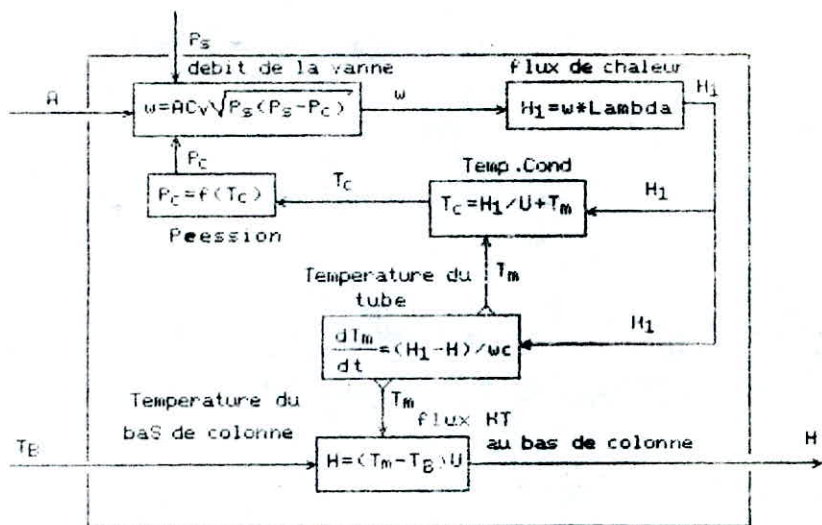


FIG III-8 MODELE DU REBOUILLEUR [1].

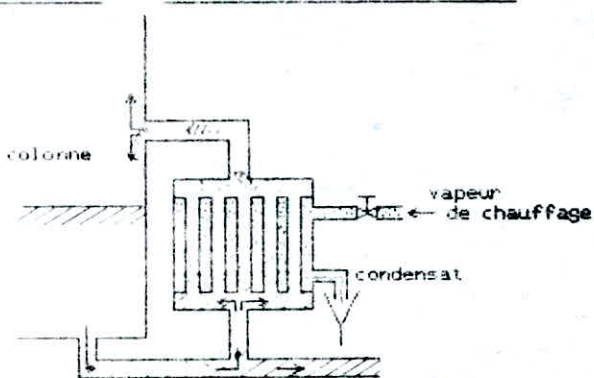
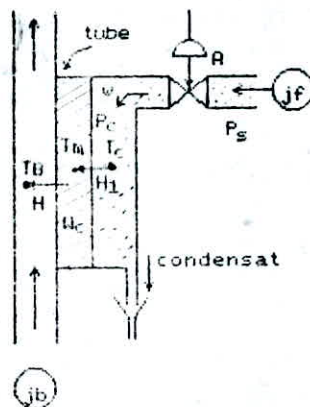


FIG-III.6-



SCHEMA EQUIVALENT DU REBOUILLEUR

FIG-III.7-

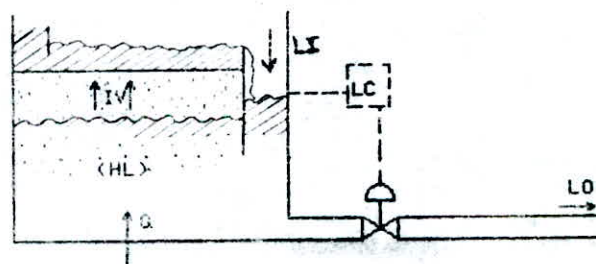


FIG-III.5- SCHEMA DU BAS DE LA COLONNE.

Comme première approximation, la résistance totale au transfert de chaleur est équivalente dans les deux côtés du tube :

$$H1 = U (Tc - Tm).$$

$$H2 = U (Tm - Tb).$$

Le modèle mathématique de ce rebouilleur est représenté dans la figure - .III.8= .

Les variables d'entrée à ce modèle sont :

R = Le taux d'ouverture de la vanne (%) .

Tb = La température du bas de colonne .

Ps = La pression d'alimentation du rebouilleur en vapeur de chauffage (généralement constante) .

Les variables de sortie seront :

H = Le flux de chaleur qui est utilisé par le bas de colonne pour générer le flux d'évaporation U .

Le flux de chaleur vers le tube H1 est considéré égal à la chaleur latente du flux vapeur : $H1 = U \text{ Lambda}$ ou

Lambda = Chaleur latente molaire .

La température de condensation dérive de cette chaleur à partir de la température du tube Tm : $Tc = H1/U + Tm$.

Ce modèle est représenté par la procédure REB dont le listing est en annexe (4) .

h. Développement d'une procédure générale de simulation d'une colonne .

Les procédures décrites précédemment vont servir au développement de cette procédure. Le modèle de cette procédure est représenté dans la figure -III.9-. Dans le but de pouvoir ajouter des procédures pour d'autres appareils et les utiliser dans un même système, nous avons adopté la structure suivante :

1. Définir un type nommé "Colonne" dans le header TIPE.H (6). Ce type est une structuré contenant tous les paramètres définissant complètement une colonne, selon le modèle utilisé. Si, dans un programme , nous faisons la déclaration suivante :

Colonne Cptr;

Les paramètres définissant une colonne seront :

Cptr.n_pl : nombre de plateaux.

Cptr.etat_pl[i-1] : Etat du plateau numero i. (n : normal;
a : alimentation; s : soutirage.).

Cptr.h_pl[i] : Flux de chaleur avec l'extérieur au niveau du
plateau i.

Cptr.pholdup[i] : Rétention au niveau du plateau i .

Cptr.htc[i] : Constante de temps hydraulique au niveau du
plateau i . . . i=1,...,Cptr.n_pl.

Cptr.h : Flux de chaleur du rebouilleur vers le bas de colonne.

Cptr.Cv : Capacité de la vanne du rebouilleur .

Cptr.B : fraction d'ouverture de la vanne du rebouilleur .

Cptr.wc : Capacité calorifique

Cptr.bholdup : Rétention du bas de colonne .

Cptr.tc : température du condenseur .

Cptr_holdup = Rétention du réservoir .

Cptr_h_holdup = Flux de chaleur avec l'extérieur au niveau du
réservoir de reflux

Cptr_ti[i] = Valeur initiale estimée des températures dans les
flux liquides .

Cptr_hldpi[i] = valeur initiale estimée des flux liquides .

i=1,...,Cptr_n_pl;

Cptr_pcon = Pression à l'entrée du condenseur .

Cptr_Pbot = Pression au bas de colonne .

Cptr_deltatp = élévation de pression par étage .

Les autres paramètres sont utilisés dans la numérotation des
flux (Ceci est commenté par la figure -III 10-) .

Tous paramètres doivent être introduits pour définir une
colonne à simuler .

2. développer une procédure `init_colonne` permettant
d'initialiser certaines variables pour pouvoir passer à la
simulation. Le listing de `init_colonne` est présenté en annexe (6).

3. Développer une procédure permettant la simulation proprement
dite de la colonne, dont le listing est inclus en annexe (6).

Des exemples d'utilisation de ce travail en mode programmation
sont présentés en annexe (7).

Exemple: numérotation des flux dans une colonne à 9 étages.

```

Cptr_n_pl=9;
Cptr.etat_pl="nnnasnnnn";
Cptr.i0=1;
Cptr.i0=21;
Cptr.jf=25;
Cptr.i0(1)=23;
Cptr.i0(1)=22;
Cptr.jc=24;
Cptr.jh=26;
Cptr.j0=1;

```

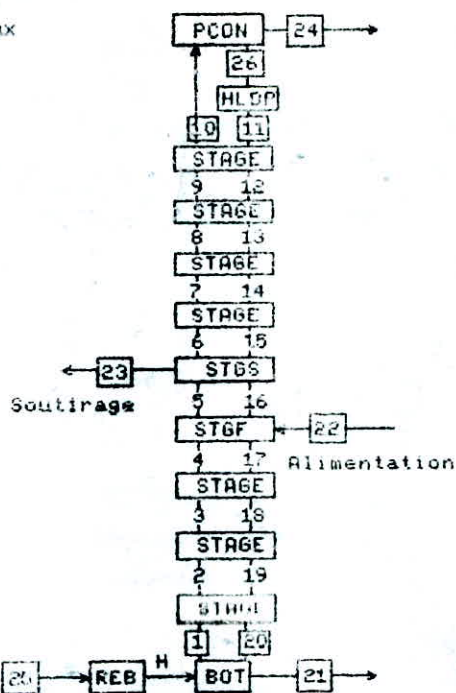


FIG -III-10-

PROCEDURE EQUIVALENTE A UNE COLONNE A 9 ETAGE.

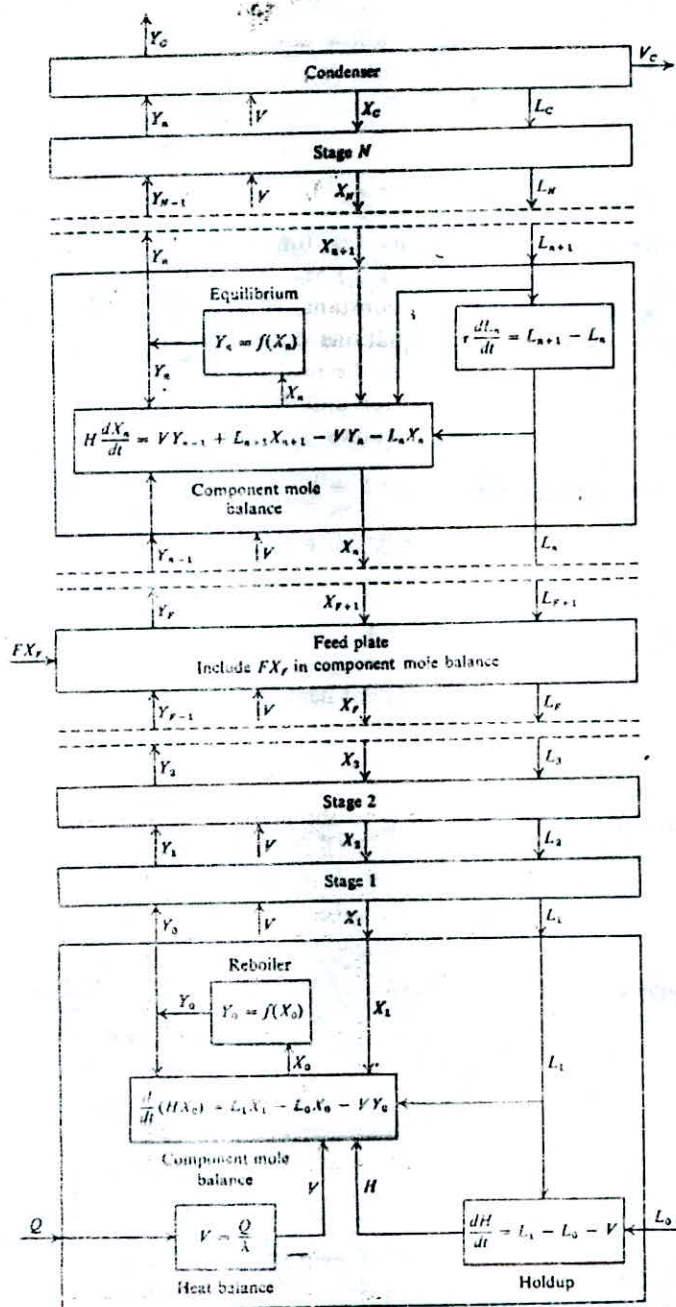


FIG -III 9- SCHEMA DU MODELE D'UNE COLONNE A N ETAGE .

III.4. Réalisation d' une interface utilisateur interactive .

III.4.1. Introduction :

La librairie de procédures de simulation de procédés chimiques, réalisée précédemment, constitue un langage de simulation spécifique au génie chimique. Ces procédures peuvent être considérées comme des instructions. En utilisant le compilateur C ou même le compilateur Turbo PASCAL, on peut facilement réaliser des programmes de simulation de systèmes de génie-chimique (7).

Une librairie de procédures, faite dans un langage donné, n'est pas considérée comme un logiciel, mais comme un ensemble d'utilitaires dans un domaine donné. Donc, notre librairie est considérée comme un ensemble d'utilitaires en Turbo C pour la simulation en génie chimique. Pour donner à notre travail un aspect de logiciel, offrant toutes les possibilités que possèdent les logiciels actuels, nous avons réalisé une interface utilisateur interactive. Cette interface est réalisée en Turbo C, sans aucun utilitaire extérieur.

III.4.2. Possibilités de l'interface -

Cette interface utilisateur facilite l'introduction des paramètres d'un modèle d'appareil, et les données intervenant dans un système. Elle permet la manipulation de ces données dans des fichiers. La construction d'un système de génie chimique à simuler, se fait en reliant les symboles graphiques des appareils et en introduisant les paramètres et les données concernant ces appareils.

Une fois que le système est entièrement défini, on doit le sauvegarder. On peut rappeler un système sauvegardé, l'éditer et le modifier. Le schéma du système réalisé peut être imprimé. L'interface appelle un autre programme qui réalise la simulation proprement dite: SIMUL.EXE. MODUL.C et SIMUL.C ont une structure facilitant l'extension et l'introduction d'autres procédures simulant d'autres appareils. SIMUL.EXE permet aussi la présentation des résultats de la simulation graphique, numérique sur écran ou dans un fichier. Les résultats de la simulation peuvent être récupérés du fichier pour être traités ou imprimés.

III.4.3. Structures des programmes sources .

Pour réaliser un tel logiciel, en Turbo C, nous sommes obligés d'utiliser la gestion de projets qui est intégrée dans l' E D I. La gestion de projets informatiques, proposée par Turbo C, est nécessaire quand le travail dépasse une certaine taille. Elle facilite grandement le développement d'application sérieuse. Le fichier projet MODUL.PRJ de l'interface est :

```

INTRO_PAR.C
G_GRP.C
G_GRP1.C
G_MENU.C
G_FICHIER.C

```

Nous avons 5 modules :

- * G_GRP.C et G_GRP1.C * comportant certaines procédures graphiques.
- * G_MENU.C * comportant les procédures de gestion de menus.
- * G_FICHIER.C * comportant les procédures de gestion de fichiers.
- * INTRO_PAR.C * comportant les procédures d'introduction des paramètres, d'édition graphique et de numérotation automatique de flux.

Ces modules sont compilés chacun à part pour donner des modules objects (extension .OBJ), puis linker pour donner l'exécutable (.exe). Cette structure permet l'extension du logiciel en ajoutant d'autres procédures pour d'autres appareils et d'autres options.

La gestion de projet permet de réduire le temps de compilation durant le développement. Si une modification est faite au niveau d'un module, seul ce module est compilé, puis il est lié aux autres modules "objects" pour donner la nouvelle version exécutable du logiciel.

Les modules présentés précédemment utilisent d'autres fichiers headers avec l'extension .C, pour les procédures, ou .H, pour les prototypes de fonctions et certaines déclarations. Le listing de ces modules n'est pas présenté à cause de son grand volume. L'interface permet de définir un système, de stocker tous les paramètres et les données dans des fichiers, d'appeler le programme SIMUL.EXE, et lui transmettre tous ces fichiers. SIMUL.EXE fait tous les calculs et la simulation proprement dite⁵⁵ et présente les résultats de la simulation.

III.4.4. Description de l'interface

Le masque principal de notre interface utilisateur comporte un ensemble de menus (masque -I- {8}). Pour accéder à un menu, il suffit d'appuyer sur la première lettre ou celle qui est en majuscule. Si ce choix comporte un sous-menu, on a une fenêtre qui apparaît comportant les autres choix (on a aussi des sous fenêtres), sinon, l'appui sur la touche exécute ce que l'utilisateur a choisi d'une manière interactive. Pour sortir d'un menu, il suffit d'appuyer sur ESC, pour quitter sur Q.

Certains menus apparaissant dans le masque, vont être développés ultérieurement. Pour les appareils il n'y a que la colonne de distillation, les alimentations et les capteurs qui sont opérationnels.

III.4.5. Exemple d'application avec l'interface utilisateur .

Pour expliquer l'utilisation de cette interface nous nous limiterons à un exemple.

* A partir du système, l'utilisateur lance l'exécution par :

```
a:\simul\modu11
```

Le masque -I- (8) apparaîtra. Si nous voulons introduire dans notre système, une colonne de distillation nous devons appuyer sur **A** pour se placer dans le menu Appareils, puis sur **C** pour choisir Colonne. Un curseur apparaîtra, nous positionnons ce dernier à l'aide des touches de déplacement à l'endroit où nous désirons placer la colonne, et nous appuyons sur la barre d'espace. Le masque II (8) apparaîtra, nous pourrions alors soit introduire les paramètres de la colonne à partir du clavier ou choisir le menu fichier en appuyant sur **Alt-F** et appeler un fichier existant. La liste des fichiers existants peut être consultée en tapant **L** de Liste. Une fois que tous les paramètres de la colonne sont définis, nous appuyons sur **ESC**. Un curseur apparaîtra pour déterminer la taille du symbole graphique de la colonne. Nous appuyons sur la barre d'espace pour revenir au masque (I) avec le schéma de la colonne à l'endroit où nous voulons le placer. Un curseur se déplace sur les flux internes au cas où nous voudrions placer des capteurs. Nous éditerons ensuite sur les entrées et les sorties, à l'aide du menu Edit **R** ou **S** respectivement. Nous définirons les alimentations et les soutirages (masque III (8)).

Les propriétés des constituants intervenant dans le système sont définies dans le menu Donnée (masqueIU {8}). Une fois que tout est défini, nous sauvegarderons (menu fichier) sous un nom donné. Pour simuler, nous taperons S du menu Simuler et nous introduirons le nom du système. Le programme SIMUL.EXE sera alors chargé. nous introduirons le temps maximal de simulation, le pas d'intégration, et nous choisirons le type de sortie des résultats. Cet exemple est illustré en annexe {8}.

Nous devons respecter un protocole durant l'utilisation de ce logiciel. Nous devons aussi respecter la structure du DYFLO présentée précédemment.

III.4.6. Conclusion

L'interface, présentée précédemment, n'est qu'une phase préliminaire à la réalisation d'un logiciel de flow-sheeting et de simulation. Elle présente les idées de base, et les algorithmes nécessaires à la réalisation d'un tel logiciel. C'est une version 0.0 d'un logiciel, il ne nous a pas été possible de faire une gestion d'erreurs et d'événement complète ni les messages d'aide. Il manque également le fichier d'aide nécessaire dans tout logiciel. Il n'y a pas de limites à la possibilité d'extension et d'amélioration d'un tel logiciel, on peut toujours ajouter des options, améliorer les procédures, du point de vue taille, rapidité et efficacité.

CONCLUSION

L'interet de l'informatique pour l'ingenieur de genie-chimique depasse le flow-sheeting pour atteindre la simulation des ecoulements et des phenomenes de transport complexes d'une part et apporter, des solutions technologiques tres interessantes aux problemes difficiles poses par le Genie-chimique surtout dans les technologies nouvelles. Les logiciels de simulation les plus repandus sur les PC sont : Process; Design II; ASPEN; BELSIM; CHEMCAD; PROSIM; HISYM-PETROLE ET GAZ; BIJACK-ECHANGEUR DE CHALEUR; ENSIM = REACTEURS CHIMIQUES; SPEEDUP; LSD ...

Avec la possibilite de les interfacer avec : dbase, lotus, autocad, base de donnees de corps purs estimation des proprietes.

Le developpement de tels logiciels est, generalement, realise par des equipes de recherche dans des ecoles et des universites.

Notre but etait de contribuer a cette revolution que connaissent toutes les branches de l'engineering.

Nous avons realise une librairie d'utilitaires (en langage C) pour la simulation en genie chimique. Cette derniere est representee par les cinq fichiers "headers" (NUMERIQUE.C; ETAT.C; UNITETAT.C; UNITDYN.C; CONTROL.C). A partir de cette librairie, nous avons realise une procedure simulant une colonne de distillation suivant un modele propose par le DYFLO [1], qu'on a generalise. La structure de cette procedure se prete a la simulation modulaire simultanee, on peut realiser d'autres procedures pour d'autres appareils et les relier par la numerotation des flux.

Dans une seconde etape, nous avons developpe une interface utilisateur interactive permettant d'editer graphiquement le schema du systeme a simuler; d'introduire les parametres pour chaque appareil et de les manipuler dans des fichiers. Une fois que tout le systeme a simuler est defini on sauvegarde dans un fichier et l'interface appelle un autre programme qui fait le calcul et la presentation des resutats de la simulation. Durant le developpement nous avons rencontre des problemes de memoire et nous avons ete contraint de changer de structure, ainsi des programmes sont charges alternativement. Des exemples d'utilisation de la librairie, en mode programmation (colonne de distillation et compreseur) et en utilisant l'interface (colonne de distillation) sont presentes en en annexe {7}.

Nous avons tenu a ce que le travail realise se prete a l'extension et a l'amelioration dans le but d'elaborer un logiciel de simulation de procedes performant.

BIBLIOGRAPHIE

- E11 ROGER G. E. FRANKS, **Modeling and Simulation in Chemical Engineering**,
ED. WILEY-INTERSCIENCE 1972.
- E21 M. FEIOT, **Thermodynamique et Optimisation Energetique des Systemes
Procedes** ED. LAVOISIER 1987.
- E31 V. KAFAROU, **Methodes Cybernetiques et Technologie Chimique**,
ED. MIR 1974.
- E41 S. BOMENECH, X. JOULIA, B. KOEHRET, **Simulation et Optimisation en
Genie des Procedes, Collection RECENTS PROGRES EN GENIE DES PROCEDES**
ED. LAVOISIER 1988.
- R. SIMIAN, M. PICARD, **Logiciels et Materiel en Simulation
des Procedes.**
- [5] J. BEL, X. JOULIA, A. SOUDEREN, **Analyse de Sensibilite et Mise
en Evidence des Parametres Predominants d'un Procede.**
- [6] X. JOULIA, J.M. LELANN, B. KOEHRET, **De la simulation Statique
a la Simulation Dynamique.**
- [7] C. LOFFLER, G. BLOCH, J. RASOT, **Presentation d'un Logiciel de
Simulation de Systemes Dynamiques.**
- [8] M. COEYTRUX, **Simulation et Optimisation d'une Usine de Pate a
Papier.**

A N N E X E - 1 -

LISTING DE NUMERIQ.C

```

/*
#include <stdio.h>
#include <math.h>
#include <stdlib.h>

extern float t,dt,js,jn,dxa[500],xa[500];
float t,dt,js,jn,dxa[500],xa[500];
extern int io,js4;
int io,js4;
int nc=0;
extern float xt;
float xt;
float za[10],ya[10];

float INT(float *px,float dx)
{
float x;
x=*px;
jn++;

switch(io) {
case 1: x+=dx*dt; break;
case 2: switch(js) {
case 1: dxa[jn]=dx; x+=dx*dt;
break;
case 2: x+=(dx-dxa[jn])*dt/2;
break;
}
break;
case 3:
case 4: switch(js4) {
case 1: xa[jn]=x; dxa[jn]=dx;
x+=dx*dt; break;
case 2:
case 3: dxa[jn]+=2.*dx;
x=xa[jn]+dx*dt;
break;
case 4: dxa[jn]=(dxa[jn]+dx)/6.;
x=xa[jn]+dxa[jn]*dt;
break;
}
}

*px=x;
return(x);
}

```


A N N E X E - 2 -

```
}/*
```

```
LISTING DE ETAT.C
```

```
#include "numeriqu.c"
```

```
int ncf,ncl;  
int lstr;  
float strm[300][24],data[20][10],rct[22];
```

```
void ENTHL(int i)
```

```
{  
  int n; float hv=0.0;  
  for (n=ncf; n<=ncl; n++)  
    hv strm[i][n]*(data[n][7]+data[n][8]*strm[i][22]);  
  strm[i][23]=hv*strm[i][22];  
}
```

```
void ENTHV(int i)
```

```
{  
  int n; float hv=0.0;  
  for (n=ncf; n<=ncl; n++)  
    hv+=strm[i][n]*((data[n][4]+data[n][5]*strm[i][22])*strm[i][22]  
    +data[n][6]);  
  strm[i][23]=hv;  
}
```

```
void TEMP(int i,int l)
```

```
{  
  int j4,j5,n; float sax=0.0,sbx=0.0,slm=0.0,t,td;  
  j4=4+l; j5=5+l;  
  for (n=ncf; n<=ncl; n++) { sax+=data[n][j4]*strm[i][n];  
    sbx+=data[n][j5]*strm[i][n];  
    if (l!=3) slm+=data[n][6]*strm[i][n]; }  
  t=strm[i][22];  
  do td=(strm[i][23]-slm)/(sax+t*sbx); while(CONV(&t,&td,1)!=2);  
  strm[i][22]=t;  
}
```

```
void ACTY(int n)
```

```
{  
  int j;  
  for (j=1; j<=20; j++) data[j][9]=1.;  
}
```

```
void EQUIL(int il,int iv)
```

```
{  
  int n; float sum,sdy,dy,yer;  
  do { sum=sdy=0.0; ACTY(il);  
    for (n=ncf; n<=ncl; n++) {  
      strm[iv][n]=exp(data[n][1]+data[n][2]/(strm[il][22]+  
      data[n][3]))*strm[il][n]/strm[il][24]*data[n][9];  
      sum+=strm[iv][n];  
      dy=-strm[iv][n]*data[n][2]/((strm[il][22]+data[n][3])*  
      (strm[il][22]+data[n][3]));  
      sdy+=dy; }  
    yer=1.0-sum; strm[il][22]+=yer/sdy; } while (fabs(yer)>=.001);  
  strm[iv][22]=strm[il][22];  
}
```

```

void DEWPT(int iv,int il)
{
  int n; float sum,sdx,pn,dx,xer;
  do { sum=sdx=0.0; ACTY(il);
    for (n=ncf; n<=ncl; n++) {
      pn=exp(data[n][1]+data[n][2]/(strm[il][22]+data[n][3]));
      strm[il][n]=strm[iv][n]*strm[il][24]/data[n][9]/pn;
      sum+=strm[il][n];
      dx=strm[il][n]*data[n][2]/((strm[il][22]+data[n][3])*
        (strm[il][22]+data[n][3]));
      sdx+=dx;
    }
    xer=1.0-sum;
    strm[il][22]=strm[il][22]+xer/sdx; } while(fabs(xer)>=.001);
}

```

A N N E X E - 3 -

LISTING DE UNITETAT.C

```
#include "etat.c"
```

```
void SUM(int i,int j,int k,int l)
```

```
{
    int n; float enin;
    strm[k][21]=strm[i][21]+strm[j][21];

    for (n=ncf; n<=ncl; n++)
        strm[k][n]=(strm[i][21]*strm[i][n]+strm[j][21]*strm[j][n])/
                strm[k][21];

    enin=strm[i][23]*strm[i][21]+strm[j][23]*strm[j][21];
    strm[k][23]=enin/strm[k][21]; TEMP(k,l);
}
```

```
void SPLIT(int j,int k,int m,float rkj)
```

```
{
    int n;
    strm[k][21]=strm[j][21]*rkj;
    strm[m][21]=strm[j][21]-strm[k][21];
    strm[m][22]=strm[j][22]; strm[k][22]=strm[j][22];
    strm[k][23]=strm[j][23]; strm[m][23]=strm[j][23];
    for (n=ncf; n<=ncl; n++) strm[k][n]=strm[m][n]-strm[j][n];
}
```

```
void HTEXCH(int i,int jo,float ht,int l)
```

```
{
    int n; float qf;
    qf=ht/strm[i][21];
    for (n=ncf; n<=ncl; n++) strm[jo][n]=strm[i][n];
    strm[jo][23]=strm[i][23]+qf;
    strm[jo][21]=strm[i][21];
    TEMP(jo,l);
}
```

```
void CSHE(int isi,int iso,int iti,int ito,float ua,int ips,
          int ipt,int nsf,int nsl,int ntf,int ntl)
```

```
{
    int j; float q,dt1,dt2,r,dta,qc;
    for (j=nsf; j<=nsl; j++) strm[isol][j]=strm[isil][j];
    for (j=ntf; j<=ntl; j++) strm[itol][j]=strm[itil][j];
    strm[itol][21]=strm[itil][21]; strm[isol][21]=strm[isil][21];
    q=strm[isil][21]*(strm[isil][23]-strm[isol][23]);
    do { ncf=nsf; ncl=nsl; HTEXCH(isi,iso,-q,ips);
        ncf=ntf; ncl=ntl; HTEXCH(iti,ito,q,ipt);
        dt1=strm[isol][22]-strm[itil][22];
        dt2=strm[isil][22]-strm[itol][22];
        r=dt1/dt2; dta=(dt1-dt2)/(log(fabs(r))); qc=ua*dta;
    } while(CPS(&q,&qc,r/(1+r))==2);
}
```

```

void FLASH(int i,int jv,int jl,float ht)
{
    int n; float qf,r,sum,sdy,h,dy,yer,r1;
    qf=ht/strm[i][21]; r=strm[jv][21]/strm[i][21]; ACTY(jl);
    do { do { sum=sdy=0.0; for (n=ncf; n<=ncl; n++) {
h=exp(data[n][1]+data[n][2]/(strm[jl][22]+data[n][3]))*
                                data[n][9]/strm[jl][24];
strm[jv][n]=strm[i][n]*h/(1.+r*(h-1.));
strm[jl][n]=strm[jv][n]/h;
sum+=strm[jv][n];
dy=-strm[jv][n]*data[n][2]/((strm[jl][22]+data[n][3])*
                                (strm[jl][22]+data[n][3]));
sdy+=dy; } yer=1.-sum; strm[jl][22]+=yer/sdy;
                                } while (fabs(yer)>=.001);
strm[jv][22]=strm[jl][22]; ENTHV(jv); ENTHL(jl);
r1=(strm[i][23]+qf-strm[jl][23])/(strm[jv][23]-strm[jl][23]);
if (r1<=0.0) HTEXCH(i,jl,ht,3); strm[jv][21]=0.0; return; }
if (r1>=1.0) { HTEXCH(i,jv,ht,0); strm[jl][21]=0.0; return; }
} while (CONV(&r,&r1,1)==2);
strm[jv][21]=r*strm[i][21]; strm[jl][21]=(1.0-r)*strm[i][21];
}

```

```

void CVBOIL(int i,int jv,float ht)
{
    int n;
    DEWPT(i,jv);
    for (n=ncf; n<=ncl; n++) strm[jv][n]=strm[i][n];
    ENTHV(jv); strm[jv][21]=ht/(strm[jv][23]-strm[i][23]);
    strm[i][21]=strm[jv][21];
}

```

```

void PCON(int i,int jv,int jl,float tc)
{
    float r,tmp,sdy,sum,h,den,dy,yer; int n;
    strm[jv][22]=strm[jl][22]=tc; r=strm[jv][21]/strm[i][21];
    if (r>.95) r=.95; tmp=strm[i][22]; EQUIL(i,300);
    strm[i][22]=tmp;
    if (tmp>tc) r=1.;
    if (strm[300][22]>tc) {
        for (n=ncf; n<=ncl; n++) strm[jl][n]=strm[i][n];
        r=0.;
    ENTHV(jv); ENTHL(jl); strm[jv][21]=strm[i][21]*r;
    strm[jl][21]=strm[i][21]-strm[jv][21]; }
    else {
    do { sdy=sum=0.0; ACTY(jl);
    for (n=ncf; n<=ncl; n++) {
h=exp(data[n][1]+data[n][2]/(tc+data[n][3]))*
                                data[n][9]/strm[jl][24];
den=1.+r*(h-1.); strm[jv][n]=strm[i][n]*h/den;
                                strm[jl][n]=strm[jv][n]/h;
dy=-strm[jv][n]*(h-1.)/den; sum+=strm[jv][n]; sdy+=dy;
if (sdy>=0.0) sdy=-1.0; yer=1.0-sum; r+=yer/sdy;
                                } while (fabs(yer)>=.001);
    ENTHV(jv); ENTHL(jl); strm[jv][21]=strm[i][21]*r;
    strm[jl][21]=strm[i][21]-strm[jv][21]; }
}

```

A N N E X E - 4 -

/*

LISTING DE UNITDYNE.C

*/

#include "unitetat.c"

```

void REB(float a,float h,float cv,float wc,int jf,int jb)
{
  float hl=0,tc=0,pc=0,w=0,dtm=0,tm=0,str=0,aaa=0; int nn;
  double aa=0;
  if (lstr==1) {
    w=h/strm[jf][23];
    pc=strm[jf][24]-w*w/(a*a*cv*cv*strm[jf][24]);
    tc=strm[jf][21]/(log10(pc)-strm[jf][11])-strm[jf][3];
    tm=(strm[jb][22]+tc)/2;
    strm[jf][20]=h/(tc-tm);
    strm[jf][21]=w;
  } else {
    do { hl=strm[jf][21]*strm[jf][23];
      tc=hl/strm[jf][20]+tm;
      aaa=tc+strm[jf][3];
      aa=strm[jf][21]/aaa;
      aaa=strm[jf][11]+aa;
      pc=exp(aaa);
      w=a*cv*sqrt(strm[jf][24]*fabs(strm[jf][24]-pc));
      str=strm[jf][21];
      nn=CONV(&str,&w,1);
      strm[jf][21]=str;
    } while (nn==2);

    aa=tm-strm[jb][22];
    aa=strm[jf][20]*(tm-strm[jb][22]);
    dtm=(hl-h)/wc;
    INT(&tm,dtm);
  }
}

```

```

void BOT(int li,int lo,int iv,float q,float hl)
{
  float denl,qp,dhl,den,hk,fni,fno,dern,dn; int n;
  if ((js4==4) || (js==2) || (lstr==1)) strm[lo][20]=strm[lo][23];
  EQUIL(lo,iv); ENTHL(lo); ENTHV(iv);
  denl=(strm[lo][23]-strm[lo][20])*hl/dt;
  qp=q+strm[li][21]*strm[li][23]+rct[22];
  dhl=strm[li][21]-strm[lo][21]-strm[iv][21]+rct[21];
  den=strm[iv][23]-strm[lo][23];
  strm[iv][21]=(qp-strm[lo][23]*(strm[li][21]+rct[21])-denl)/den;
  if (strm[iv][21]<0.0) strm[iv][21]=0.0;
  if (lstr==1) return;
  for (n=ncf; n<=ncl; n++) { hk=strm[iv][n]/strm[lo][n];
    if (hk>5.) { dn=strm[iv][21]+strm[lo][21]/hk;
      strm[iv][n]=(strm[li][21]*strm[li][n]+rct[n])/dn;
      strm[lo][n]=strm[iv][n]/hk; dern=0.0;
      INT(&strm[lo][n],dern); INT(&hl,dhl); return; }
    fni=strm[li][21]*strm[li][n]+rct[n];
    fno=strm[lo][21]*strm[lo][n]+strm[iv][21]*strm[iv][n];
    dern=(fni-fno-strm[lo][n]*dhl)/hl;
    INT(&strm[lo][n],dern); } INT(&hl,dhl); return;
}

```



```

void STAGE(int i1,int i2,int i1,int iv,float h,float h1,
           float htc)
{
  int n; float flin,hin,dl,hk,cnin,dern;
  EQUIL(i1,iv); ENTHL(i1); ENTHV(iv);
  flin=strm[i1][21]+strm[i2][21]+rct[21];
  hin=strm[i1][23]*strm[i1][21]+strm[i2][23]*strm[i2][21]+h+
                                             rct[22];

  strm[iv][21]=(hin-flin*strm[i1][23])/
               (strm[iv][23]-strm[i1][23]);
  if (lstr==1) return;
  dl=(flin-strm[iv][21]-strm[i1][21])/htc;
  for (n=ncf; n<=ncl; n++) { hk=strm[iv][n]/strm[i1][n];
  cnin=strm[i1][21]*strm[i1][n]+strm[i2][21]*strm[i2][n]+rct[n];
  if (hk>5.0) { strm[iv][n]=cnin/(strm[iv][21]+strm[i1][21]/hk);
                strm[i1][n]=strm[iv][n]/hk; dern=0.0;
                INT(&strm[i1][n],dern); INT(&strm[i1][21],dl);
                return; }
  dern=(cnin-flin*strm[i1][n]-strm[iv][21]*
         (strm[iv][n]-strm[i1][n]))/hl;
  INT(&strm[i1][n],dern); }
  INT(&strm[i1][21],dl);
  return;
}

```

```

void STGF(int i1,int i2,int i3,int i1,int iv,float h,
           float h1,float htc)
{
  int n; float flin,hin,dl,hk,cnf,cnin,dern;
  EQUIL(i1,iv); ENTHL(i1); ENTHV(iv);
  flin=strm[i1][21]+strm[i2][21]+strm[i3][21]+rct[21];
  hin=strm[i1][23]*strm[i1][21]+strm[i2][23]*strm[i2][21]+
        h+rct[22]+strm[i3][21]*strm[i3][23];

  strm[iv][21]=(hin-flin*strm[i1][23])/
               (strm[iv][23]-strm[i1][23]);
  if (lstr==1) return;
  dl=(flin-strm[iv][21]-strm[i1][21])/htc;
  for (n=ncf; n<=ncl; n++) { hk=strm[iv][n]/strm[i1][n];
  cnf=strm[i3][21]*strm[i3][n];
  cnin=strm[i1][21]*strm[i1][n]+strm[i2][21]*strm[i2][n]+
                                             rct[n]+cnf;
  if (hk>5.0) { strm[iv][n]=cnin/(strm[iv][21]+strm[i1][21]/hk);
                strm[i1][n]=strm[iv][n]/hk; dern=0.0;
                INT(&strm[i1][n],dern); INT(&strm[i1][21],dl);
                return; }
  dern=(cnin-flin*strm[i1][n]-strm[iv][21]*
         (strm[iv][n]-strm[i1][n]))/hl;
  INT(&strm[i1][n],dern); }
  INT(&strm[i1][21],dl);
  return;
}

```

```

void STGS(int i1,int i2,int il,int iv,int is,float h,
          float hl,float htc)
{
  int n; float flin,hin,dl,hk,cnin,dern;
  EQUIL(il,iv); ENTHL(il); ENTHV(iv);
  flin=strm[i1][21]+strm[i2][21]+rct[21];
  hin=strm[i1][23]*strm[i1][21]+strm[i2][23]*strm[i2][21]+
      h+rct[22];
  strm[iv][21]=(hin-flin*strm[i1][23])/(strm[iv][23]-
      strm[i1][23]);

  if (lstr==1) return;
  dl=(flin-strm[iv][21]-strm[is][21]-strm[i1][21])/htc;
  for (n=ncf; n<=ncl; n++) { hk=strm[iv][n]/strm[i1][n];
  cnin=strm[i1][21]*strm[i1][n]+strm[i2][21]*strm[i2][n]+rct[n];
  if (hk>5.0) { strm[iv][n]=cnin/(strm[iv][21]+
      (strm[i1][21]+strm[is][21])/hk);
      strm[i1][n]=strm[iv][n]/hk; dern=0.0;
      INT(&strm[i1][n],dern); INT(&strm[i1][21],dl);
      for (n=ncf; n<=ncl; n++)
          strm[is][n]=strm[i1][n];
      for (n=22; n<=24; n++) strm[is][n]=strm[i1][n];
      return; }
  dern=(cnin-flin*strm[i1][n]-strm[iv][21]*
      (strm[iv][n]-strm[i1][n]))/hl;
  INT(&strm[i1][n],dern); }
  INT(&strm[i1][21],dl);
  for (n=ncf; n<=ncl; n++)
      strm[is][n]=strm[i1][n];
  for (n=22; n<=24; n++) strm[is][n]=strm[i1][n];
  return;
}

```

```

void HLDP(int i,int io,int l,float hl,float q)
{
  int n; float dhl,hin,den,dfx,dx;
  if (lstr==1) { if (l==3) ENTHL(io);
      if (l==0) ENTHV(io); return; }
  dhl=strm[i][21]-strm[io][21]+rct[21];
  hin=strm[i][21]*strm[i][23]+q+rct[22];
  den=(hin-strm[io][23]*(strm[io][21]+dhl))/hl;
  for (n=ncf; n<=ncl; n++) {
      dfx=strm[i][21]*(strm[i][n]-strm[io][n]);
      dx=(dfx+rct[n]-strm[io][n]*rct[21])/hl;
      INT(&strm[io][n],dx); }
  INT(&hl,dhl);
  INT(&strm[io][23],den); TEMP(io,l);
  return;
}

```

A N N E X E - 5 -

```

#include "etat.c"

float out, xin, te, gain, span, vin, pb;

void TRN1(float *pout, float xin, float te, float gain)
float out;
float dtf; out = *pout;
dtf = (gain * xin - out) / te;
INT(&out, dtf);
*pout = out;

void TRN2(float *pout, float xin, float a1, float a2, float gain)
float out;
int j1;
float dtf; out = *pout;
j1++;
j1 = jn;
dtf = (gain * xin - out) * a1 - xal[j1] * a2;
INT(&out, xal[j1]);
INT(&xal[j1], dtf);
*pout = out;

float CONTR2(float vi, float zr, float rng, float sp, float axn, float pb,
float rpt, float di, float *pdi)
float co, di;
di = *pdi;
span = fabs(rng - zr);
vin = vi;
if(vi > rng) vin = rng;
if(vi < zr) vin = zr;
epc = 100. * axn * (vin - sp) / span;
di = epc * rpt * 100. / pb;
if(di > 100.) di = 100.;
if(di < 0.) di = 0.;
co = 100. / pb * epc + di;
if(co > 100.) co = 100.;
if(co < 0.) co = 0.;
*pdi = di;
return(co);
}

CONTR1(float vi, float co, float zr, float rng, float sp, float axn, float pb,
float oi)
span = fabs(rng - zr);
vin = vi;
if(vi > rng) vin = rng;
if(vi < zr) vin = zr;
epc = 100. * axn * (vin - sp) / span;
co = 100. / pb * epc + oi;
if(co > 100.) co = 100.;
if(co < 0.) co = 0.;

```


Le régulateur est un RPI et la vanne a une fonction de transfert du second ordre.

Le listing du programme simulant le compresseur est donné en annexe.

Le résultat de la simulation fournit les profils du débit $W1$ et de la pression $P2$ en fonction du temps, ainsi que celle d'autres paramètres.

ANNEXE - 6 -

```
/* LISTING DES PROCEDURES init_colonne ET colone
```

```
void colone(void)
{ int i=0,j=0,k=0,l,n;
  l=Cptr.i0+2*Cptr.n_pl+1;
  strm[Cptr.lo][21]=strm[l][21]-strm[Cptr.i0][21];
  REB(Cptr.a,Cptr.h,Cptr.ev,Cptr.wc,Cptr.jf,Cptr.lo);
  BOT(l,Cptr.lo,Cptr.i0,Cptr.h,Cptr.bholdup);
  for (n=l; n<=Cptr.n_pl; n++) { k=Cptr.i0+n-1;
    switch(Cptr.etat_plin-1) {
  case 'n':
  case 'N':
    STAGE(k,l-k,l+1-k,k+1,Cptr.h_pl[n],Cptr.pholdup[n],Cptr.htc[n]);
    break;
  case 'a':
  case 'A': j++;
    STGF(k,l-k,Cptr.ja[j],l+1-k,k+1,Cptr.h_pl[n],Cptr.pholdup[n],
      Cptr.htc[n]);
    break;
  case 's':
  case 'S': i++;
    STGS(k,l-k,l+i-k,k+1,Cptr.js[i],Cptr.h_pl[n],Cptr.pholdup[n],
      Cptr.htc[n]);
    break;
    }
  }
}
```

```
PCON(K-1,Cptr.je,Cptr.jh,Cptr.te);
HLDP(Cptr.jh,k-2,3,Cptr.holdup,Cptr.h_holdup);
```

```
void init_colonne(void)
{ int j,jd,m,n;
  m=Cptr.i0+Cptr.n_pl+1;
  strm[Cptr.i0][21]=Cptr.es_vp_bup;
  for (j=1; j<=Cptr.n_pl+1; j++) {
    strm[m+j-1][21]=Cptr.hldpi[j];
    strm[m+j-1][22]=Cptr.ti[j]; }
  strm[Cptr.lo][21]=Cptr.hldpi[j]; strm[Cptr.lo][22]=Cptr.ti[j]
  for (j=Cptr.i0; j<=m; j++) { jd=2*m-j;
  for (n=ncf; n<=ncl; n++)
    strm[jd][n]=strm[Cptr.ja[Cptr.j0]][n]
    strm[jd][24]=strm[j][24]=Cptr.pbot-j*Cptr.deltap
    if (j!=m) EQUIL(jd,j);
    ENTHL(jd);
  }
  strm[Cptr.jh][24]=Cptr.pcon;
  EQUIL(Cptr.lo,Cptr.i0);
}
```


ANNEXE - 7 -

Exemple d'utilisation de la librairie

Le procédé à analyser consiste en un compresseur conduit par une turbine à vapeur, comprimant un gaz dans une large gamme de pression.

La partie la plus complexe dans le procédé est le compresseur. Il y a quatre variables associées au compresseur, à savoir :

- la vitesse de rotation N ,
- la pression d'entrée de gaz P_1 ,
- la pression de sortie de gaz P_2 ,
- le débit W_1 du gaz.

La vitesse et les pressions sont imposées, alors que le débit en découle. La relation numérique entre ces variables pour un compresseur particulier est, généralement, représentée sous forme d'une série d'abaques, montrant la relation entre la pression de refoulement P_2 et le débit W_1 , à différentes valeurs de la vitesse N et pour une gamme de pression d'aspiration P_1 . Ces abaques peuvent être combinés en une seule courbe, dite "courbe caractéristique" du compresseur, reliant deux paramètres : W_1/N et PR/N^{**2} où PR est le taux de pression P_2/P_1 .

Quand on se rapproche du taux de pression critique, pour une vitesse N_0 , le débit diminue rapidement. Au delà du taux de pression critique le compresseur "cahote" : le débit W_1 tombe à zéro et garde cette valeur jusqu'à ce que la valeur de PR/N^{**2} rechute.

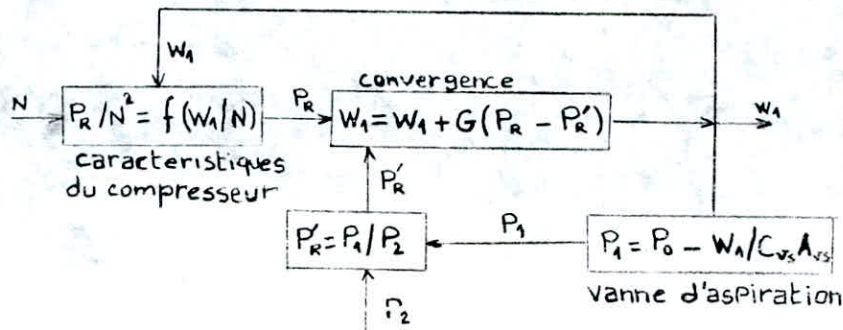
La pression d'aspiration P_1 résulte d'une perte de charges à travers la vanne d'aspiration. En supposant que le gaz est, initialement, à la pression atmosphérique P_0 , la pression P_1 sera:

$$P_1 = P_0 - [W_1 / (C_{vs} A_{vs})]^2$$

Avec C_{vs} : coefficient de la vanne d'aspiration,

A_{vs} : ouverture de la vanne d'aspiration.

En supposant que la vitesse de rotation N et la pression de refoulement P_2 , sont connues à partir d'autres sections du modèle mathématique, un schéma du flux d'information pour le compresseur et la vanne d'aspiration est représenté dans la figure suivante:



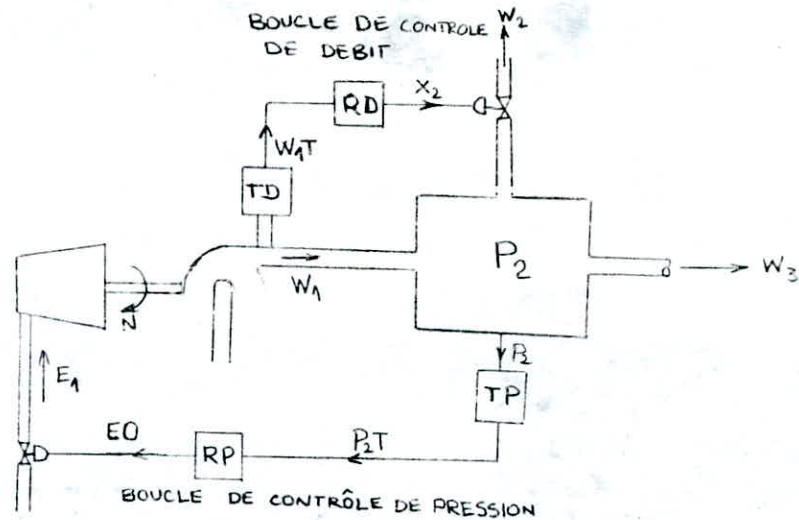
Il y a deux boucles avec W_1 comme point commun. La boucle supérieure passe par la courbe du compresseur, avec comme entrée W_1/N et comme sortie P_R/N^2 . Dans la boucle inférieure, l'équation de la vanne donne P_1 en ayant W_1 comme entrée. On peut alors calculer le ratio $P'_R = P_1/P_2$. Les valeurs des ratios P_R et P'_R sont appariées en faisant des itérations sur W_1 dans l'équation de convergence:

$$W_1 = W_1 + G (P_R - P'_R) \quad \text{avec } G=2000$$

La convergence est accélérée par la procédure CONU.

La turbine est conduite par un flux de vapeur, ayant une énergie E_1 . Le travail total E_2 fourni par la turbine est le résultat de l'action simultanée de la vitesse N et de l'écoulement du gaz.

Le système de contrôle proposé, est représenté dans la figure suivante:



Il comporte deux boucles : l'une contrôle la pression de la vapeur actionnant la turbine et l'autre, contrôle le débit, en agissant sur une vanne de bypass.

Dans la boucle de contrôle de débit, le transmetteur a une fonction de transfert du premier ordre soit:

$$W_{1T}/W_1 = 1/(tau * s + 1) \quad \text{avec } tau=0.13 \text{ sec.}$$

Ce qui correspond à l'appel de la procédure IFN1 dans le programme.

Le régulateur est du type 2 (RPI), ce qui nécessite l'appel de la procédure CONTR2.

La vanne a une fonction de transfert du second ordre:

$$X_2/X_{2P} = 1/(s^2 + 1.6 s + 1)$$

Dans la boucle de contrôle de pression, le transmetteur a une fonction de transfert du premier ordre:

$$P_{2T}/P_2 = 1/(0.25 s + 1)$$


```

#include<stdarg.h>
#include<dos.h>
#include "control.c"
#include "proced1.c"
#include "colgrp1.c"

float n,w1,w2,w3,wln,wlt,wlts,p1,p2,p2t,p2ts,pr,prp,erp,wlc,e1,e2,eo,x2,x2p,
    pbs,pbe,rptmx,rptme,oix,oiie,dix,die,av,dn,dp2,tfin;
float wlnx[15],wlny[15],avx[15],avy[15],tprnt;
int nc1,ac,nc2,jj;

main()
{
tprnt=0.;
DATA();
printf("\n");
printf(" t      p2      w2      w1      n      s2      x2p      wlt\n");
printf(" e1      p2t      \n");
printf(" \n");
do{
do{
wln=w1/n;
p1=14.7-pow((w1/(180000.*.5)),2.);
prp=p2/p1;
if((w1<=0.) && ((prp/pow(n,2))<(1.*pow10(-7))) &&
    ((prp/pow(n,2))<(7.6*pow10(-8))))
w1=55000.;
else if((prp/pow(n,2)) < (1.*pow10(-7))) {
prp=pow(n,2)*FUN1(wln,11,wlnx,wlny);
erp=pr-prp;
wlc=w1*erp*2000.;
nc1=CONV(&w1,&wlc,1); }
else if(((prp/pow(n,2))>=(7.6*pow10(-8))) ||
    ((prp/pow(n,2))>(1.*pow10(-7))))
{ w1=0.;
break; }
while(nc1==2);
e2=pow(n,3)*1.*pow10(-10)*(6.+4.4*w1/n);
if(t>5.) w3=20000.;
x2p=CONTR2(wlt/*,x2p*/,0.,1.*pow10(5),wlts,-1.,pbs,rptmx,oix,&dix);
av=FUN1(x2,11,avx,avy);
w2=666.7*av*p2;
eo=CONTR2(p2t,0.,200.,p2ts,-1.,pbe,rptme,oiie,&die);
dn=(e1-e2)*19150./n;
dp2=(w1-w2-w3)*8.*pow10(-4);
nc2=PRNTP(.5,tfin,p2,w2,w1,n,x2,x2p,wlt,e1,p2t);
switch(nc2){
case 1: INTI(&t,&dt,2);
INT(&n,dn);
TFN1(&wlt,w1,.13,1.);
TFN1(&p2t,p2,.25,1.);
TFN2(&x2,x2p,1.,1.6,.01);
TFN2(&e1,eo,59.,10.75,50.);
INT(&oix,dix);
INT(&oiie,die);

```

```
        INT(&p2,dp2);
        break;
    case 2: break;
}
}while((t<=tfin)&&(nc2!=2));
```

TA(void)

```
int i;
wlnx[1]=0.;wlnx[2]=1.;wlnx[3]=2.;wlnx[4]=3.;wlnx[5]=4.;
wlnx[6]=5.;wlnx[7]=5.5;wlnx[8]=6.;wlnx[9]=6.5;wlnx[10]=7.;wlnx[11]=7.2;
wlny[1]=7.6;wlny[2]=8.5;wlny[3]=9.2;wlny[4]=9.8;
wlny[5]=10.;wlny[6]=9.8;wlny[7]=9.2;
wlny[8]=8.2;wlny[9]=6.3;wlny[10]=2.8;wlny[11]=0.;
for (i=1;i<=11;i++) wlny[i]=wlny[i]*(1.*pow10(-8));
wax[1]=0.;avx[2]=.1;avx[3]=.2;avx[4]=.3;avx[5]=.4;
wax[6]=.5;avx[7]=.6;avx[8]=.7;avx[9]=.8;avx[10]=.9;avx[11]=1.;
way[1]=0.;avy[2]=.17;avy[3]=.225;avy[4]=.266;
way[5]=.3;avy[6]=.374;avy[7]=.46;avy[8]=.56;avy[9]=.67;
way[10]=.82;avy[11]=1.;
t=8920.;
t=90.;
t=55200.;
t=40200.;
t=0.;
t=.1;
in=50.;
e=120.;
tme=.5;
ts=90.;
e=46.8;
x=100.;
tmx=.5;
ts=55200.;
x=20.;
t=90.;
t=2340.;
t=54250.;
t=.2;
```

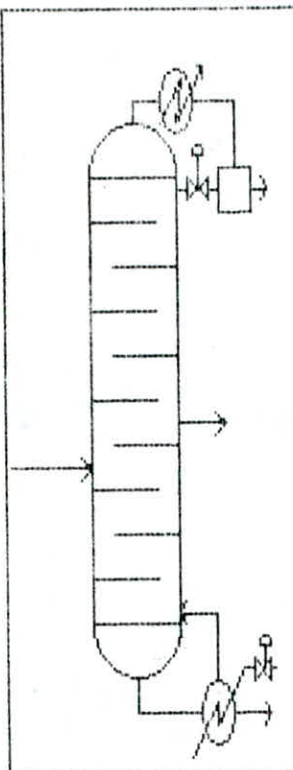
ANNEXE - 8 -

MASQUE - I -

Appareils	Fichier	Construire	Verifier	Editer	Simuler	Colonnes	Options
Alimentations							
Colonnes							
Separateurs							
Reacteurs							
Vannes							
Pompes							
Compresseurs							
regulateurs							
capteurs							
Derivation							
recyclage							

MASQUE - I -

MASQUE - I -



Nombre de plateaux=9
 Etat des palateaux : nnnasnnnn
 Flux de chaleur avec l'exterieur au niveau du plateau=0
 Holdup du plateau=5
 Constante de temps hydraulique du plateau=0.1
 Flux de chaleur du rebouilleur vers le bat de colone=3.75e+04
 Capacite de la vanne du rebouilleur=2.5
 Fraction d'ouverture de la vanne du rebouilleur=0.308
 Capacite calorifique du tube du rebouilleur=1.7
 Holdup du bas de colone=40
 Temperature de condensation=76
 Holdup du reservoir du reflux=50
 Flux de chaleur avec l'exterieur du reservoir de reflux=0
 Pression initiale du flux de condensat a la sortie du condenseur=1
 Valeurs initiales estimees des temperatures dans les flux liquide=80
 Valeurs initiales estimer des flux liquides=3
 Estimation du flux de vaporisation initiale=5
 Pression au bat de colone=1.11
 Elevation de pression par etage=0.01 * /

Fichier

Nombre de composees=3
Coefficient d'Antoine C1=15.4 2
Coefficient d'Antoine C2=-5310 2
Coefficient d'Antoine C3=273 2
Coefficient d'enthalpie vapeur Av=6.5 2
Coefficient d'enthalpie vapeur Bv=0.01 2
Chaleur latente a 0C=7500 2
Coefficient d'Enthalpie liquide Al=16 2
Coefficient d'Enthalpie liquide Bl=0.03 2
Activite nu=L *

MASQUE

Fichier



Numero du premier composant= [REDACTED]
Numeros du dernier composant= [REDACTED]
Fraction molaire du composant= 0.698 [REDACTED] 2
Debit molaire= [REDACTED]
Temperature= 95.3 [REDACTED]
Enthalpie= 8990 [REDACTED]
Pression= [REDACTED] *

Fichier



Numero du premier composant= [REDACTED]
Numeros du dernier composant= [REDACTED]
Fraction molaire du composant= 0 [REDACTED] 3
Debit molaire= [REDACTED]
Temperature= [REDACTED]
Enthalpie= [REDACTED]
Pression= [REDACTED] *

MASQUE - III

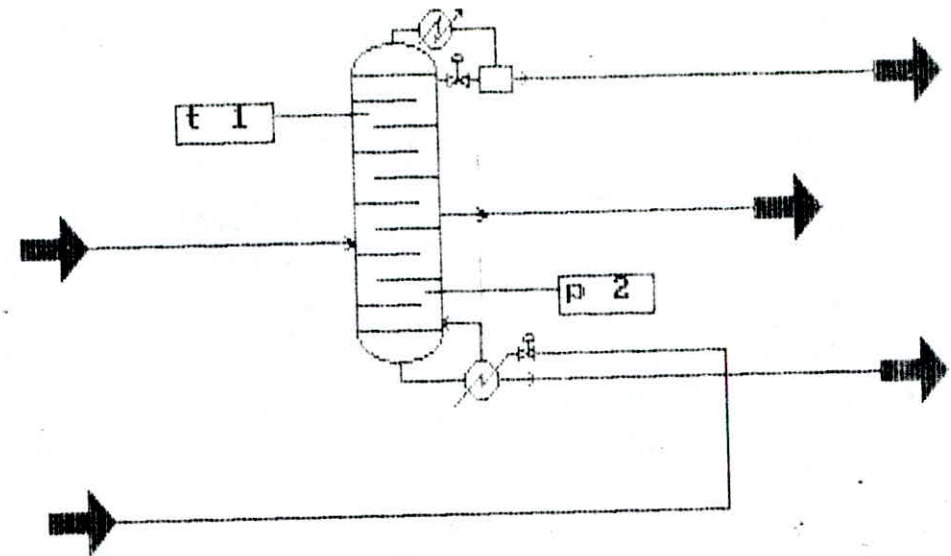
MASQUE
|
>
|

Appareils

- Alimentations
- Colonnes
- Separateurs
- Reacteurs
- Vannes
- Pompes
- Compresseurs
- regulateurs
- capTeurs
- Derivation
- recYclage

Fichier Construire Verifier Editer ~~Simulation~~ Donnees Options

SIMULATION D'UNE COLONNE DE DISTILLATION



Path : A:SYS3.DAT_

